

Zeitschrift: Eclogae Geologicae Helvetiae
Herausgeber: Schweizerische Geologische Gesellschaft
Band: 29 (1936)

Anhang

Autor: [s.n.]

Nutzungsbedingungen

Die ETH-Bibliothek ist die Anbieterin der digitalisierten Zeitschriften auf E-Periodica. Sie besitzt keine Urheberrechte an den Zeitschriften und ist nicht verantwortlich für deren Inhalte. Die Rechte liegen in der Regel bei den Herausgebern beziehungsweise den externen Rechteinhabern. Das Veröffentlichen von Bildern in Print- und Online-Publikationen sowie auf Social Media-Kanälen oder Webseiten ist nur mit vorheriger Genehmigung der Rechteinhaber erlaubt. [Mehr erfahren](#)

Conditions d'utilisation

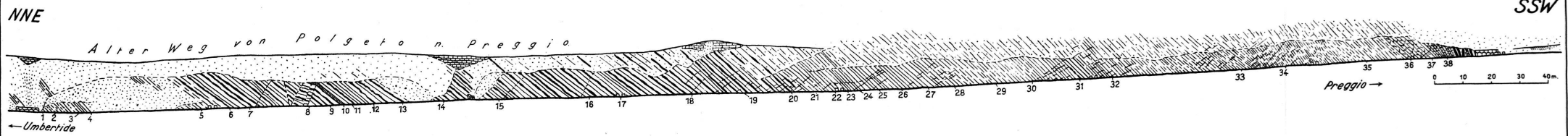
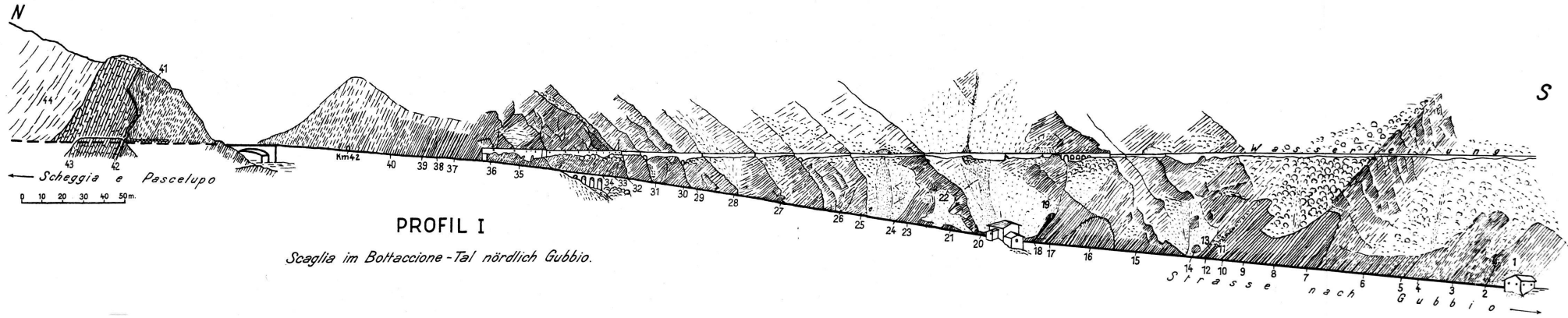
L'ETH Library est le fournisseur des revues numérisées. Elle ne détient aucun droit d'auteur sur les revues et n'est pas responsable de leur contenu. En règle générale, les droits sont détenus par les éditeurs ou les détenteurs de droits externes. La reproduction d'images dans des publications imprimées ou en ligne ainsi que sur des canaux de médias sociaux ou des sites web n'est autorisée qu'avec l'accord préalable des détenteurs des droits. [En savoir plus](#)

Terms of use

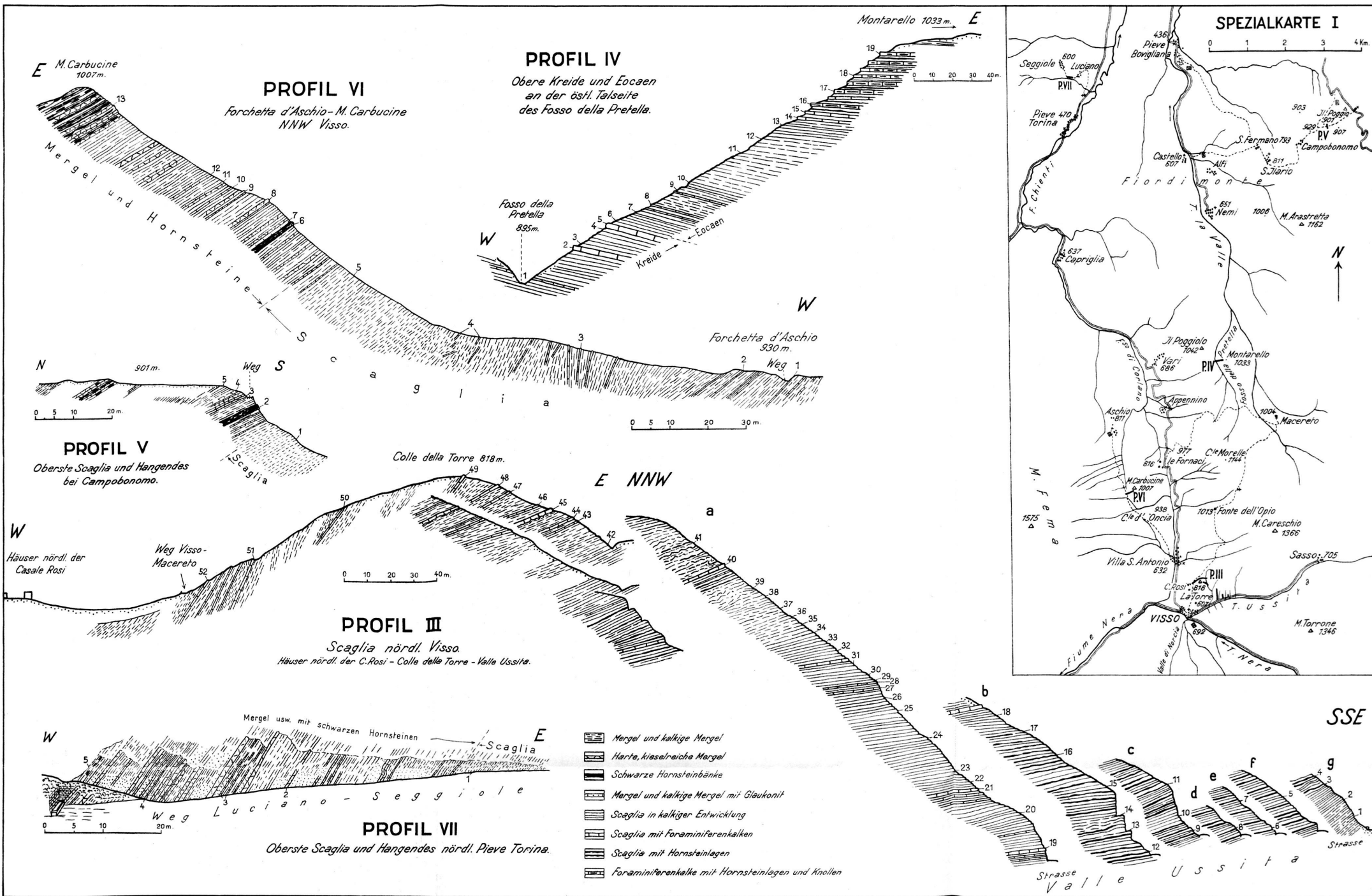
The ETH Library is the provider of the digitised journals. It does not own any copyrights to the journals and is not responsible for their content. The rights usually lie with the publishers or the external rights holders. Publishing images in print and online publications, as well as on social media channels or websites, is only permitted with the prior consent of the rights holders. [Find out more](#)

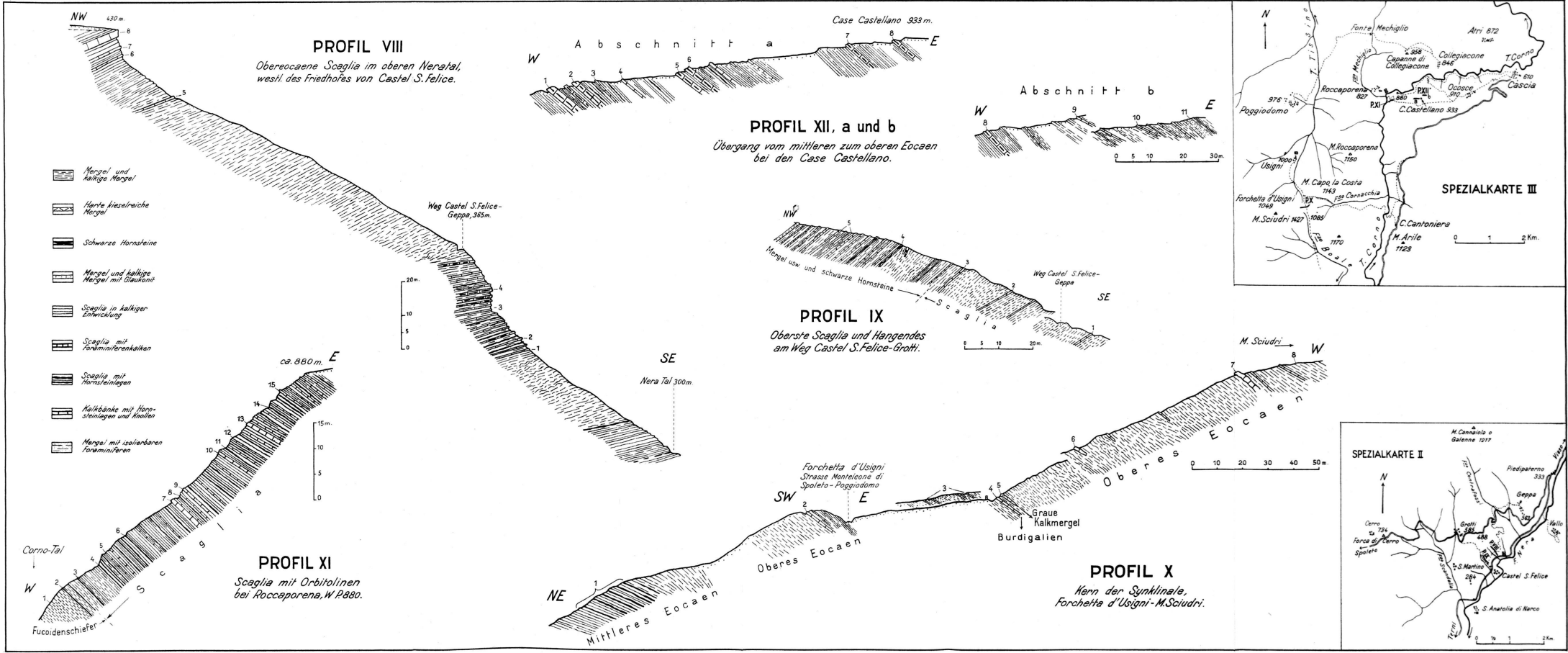
Download PDF: 29.04.2026

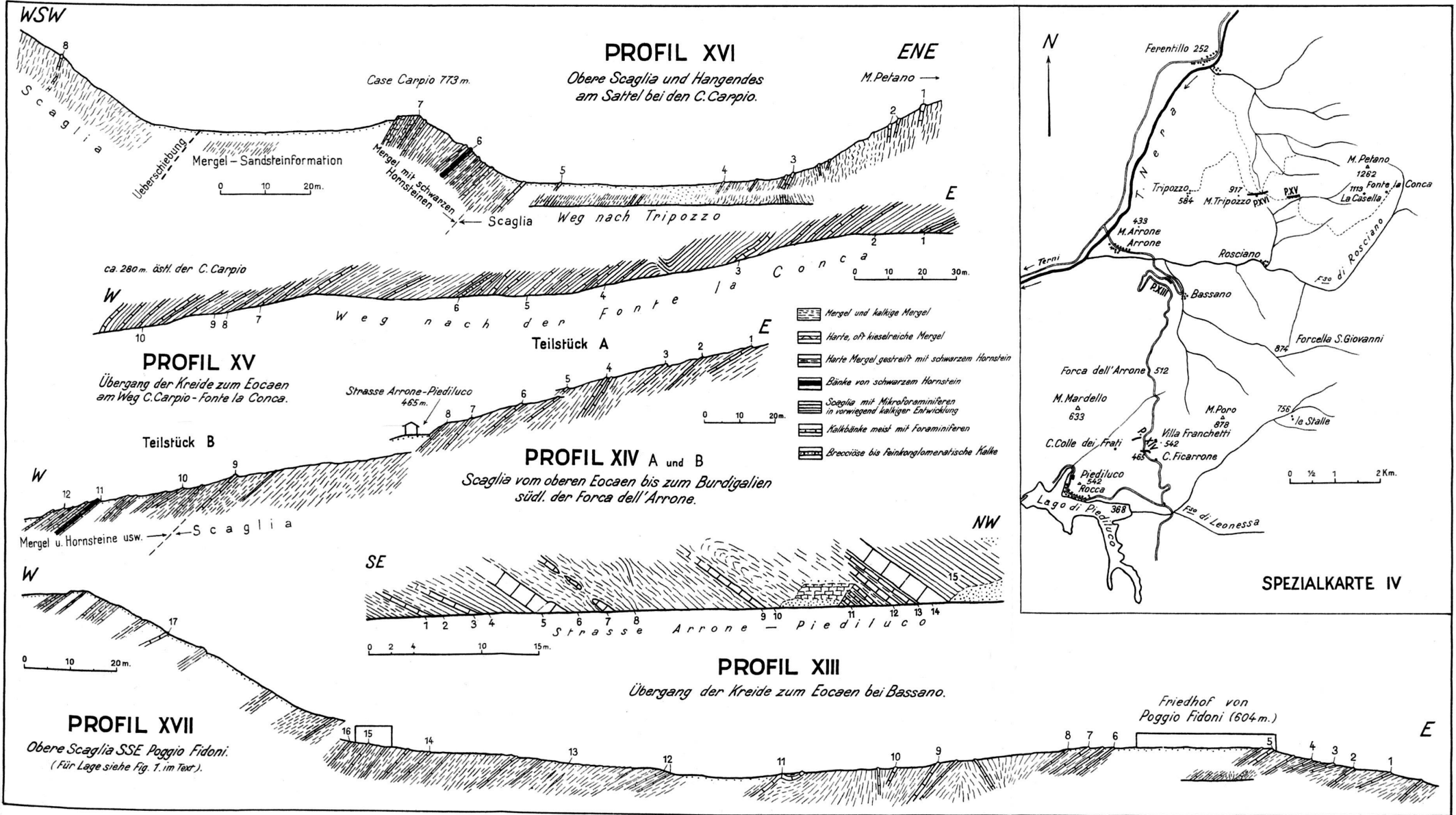
ETH-Bibliothek Zürich, E-Periodica, <https://www.e-periodica.ch>



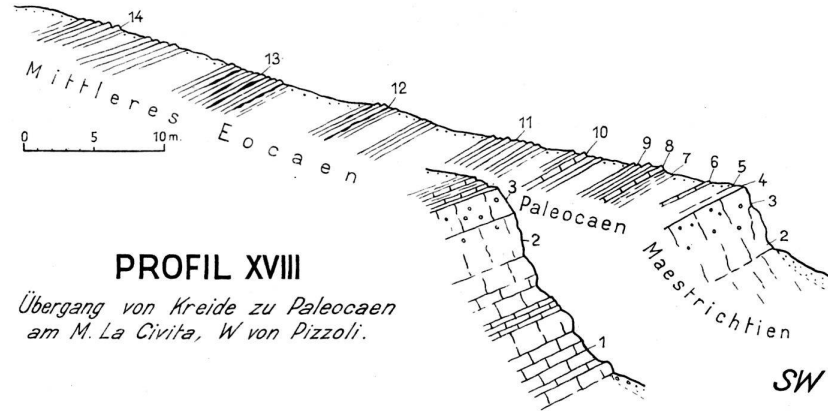
- | | | | |
|--|-----------------------------------|--|--|
| | Kalkige bis schiefrige Mergel | | Scaglia mit Mikroforaminiferen in vorwiegend kalkiger Entwicklung |
| | Harte, oft kalkreiche Mergel | | Scaglia mit Hornsteinlagen |
| | Bänke von schwarzem Hornstein | | Bituminöse Bank |
| | Glaukonitführende Mergel und Kalk | | |







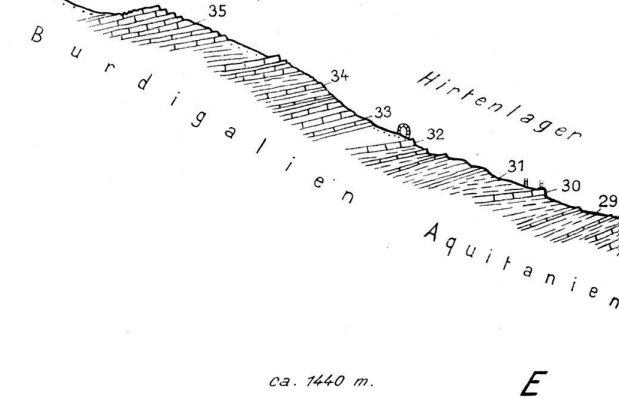
NE M. la Civita 990 m.



PROFIL XVIII

Übergang von Kreide zu Paleocaen
am M. La Civita, W von Pizzoli.

NNW

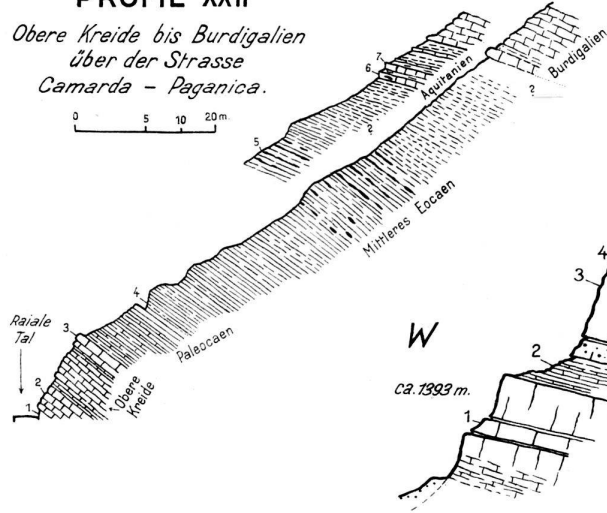


PROFIL XIX

Paleocaen und Übergang zum Eocaen
am M. Marine, N von Pizzoli.

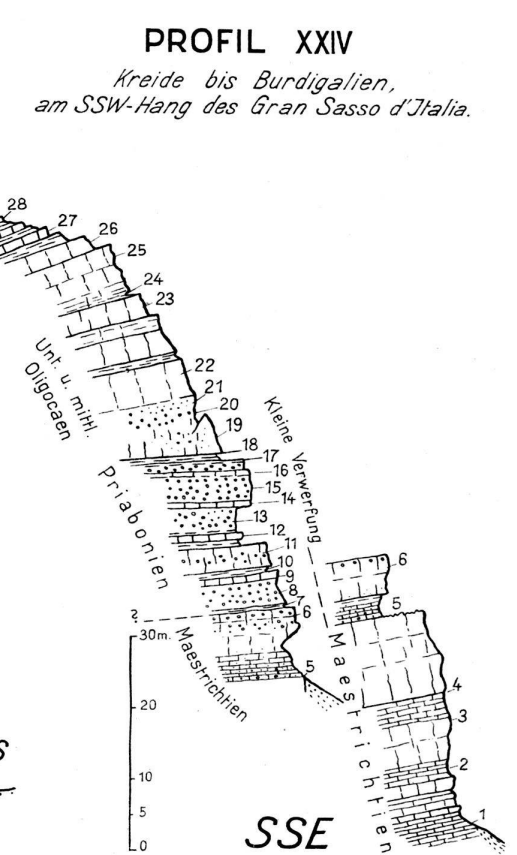
PROFIL XXII

Obere Kreide bis Burdigalien
über der Strasse
Camarda - Paganica.



PROFIL XXIV

Kreide bis Burdigalien,
am SSW-Hang des Gran Sasso d'Italia.



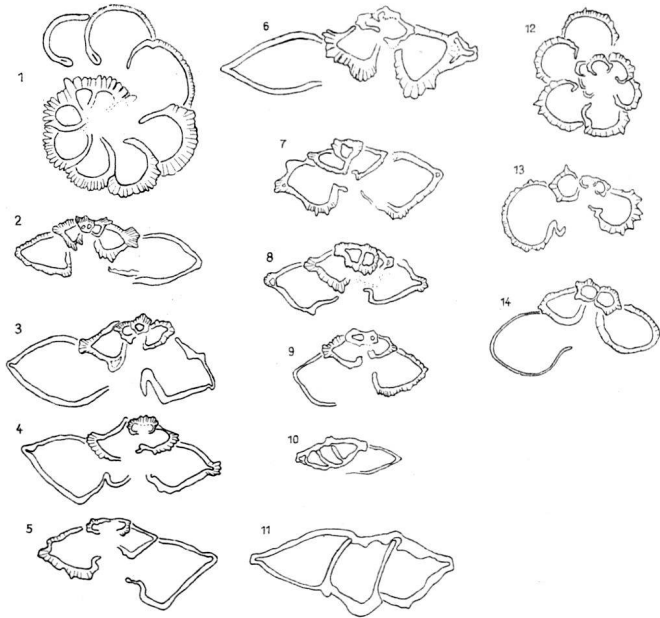
PROFIL XX

Aquitaniens und Burdigalien,
am N-Hang des M. Rua, SW von Pizzoli

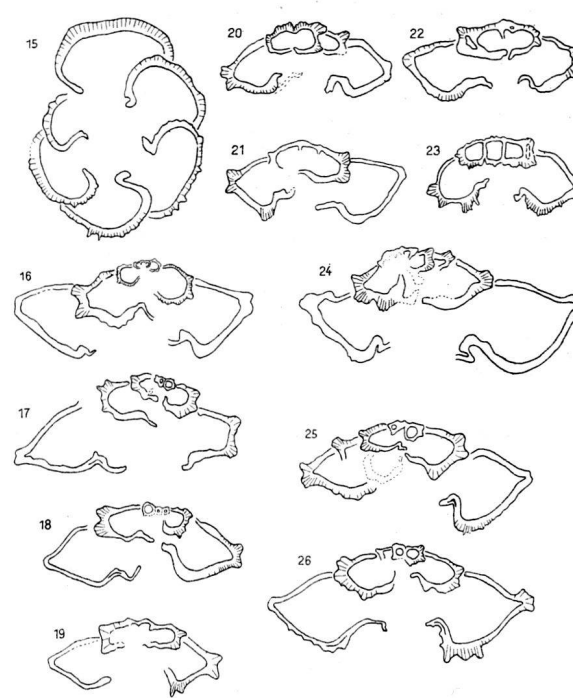
N Wiesen 905 m.



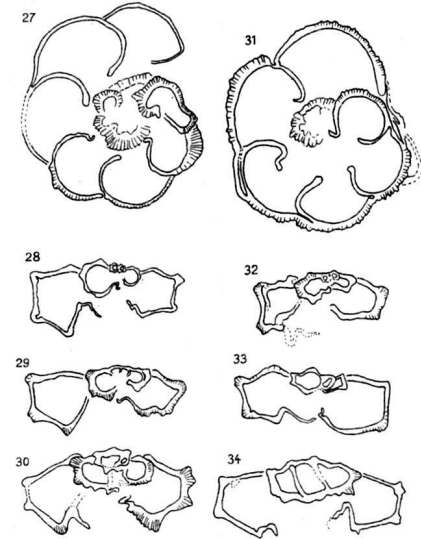
- Mergel und kalkige Mergel
- Harte kieselreiche Mergel
- Harte Mergel, mit schwarzem Hornstein gebändert
- Scaglia in kalkiger Entwicklung
- Scaglia mit Hornsteinlagen
- Scaglia mit Foraminiferenkalken
- Kalkbänke mit Hornsteinknollen und -lagen
- Massige Kalke
- Konglomerate
- Grobbrecciöse Kalke



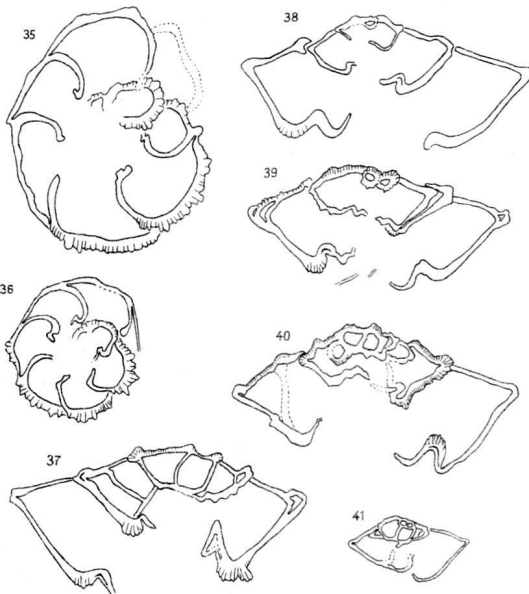
Globotruncana appenninica n.sp. 1-11, begleitende Globigeriniden 12-14



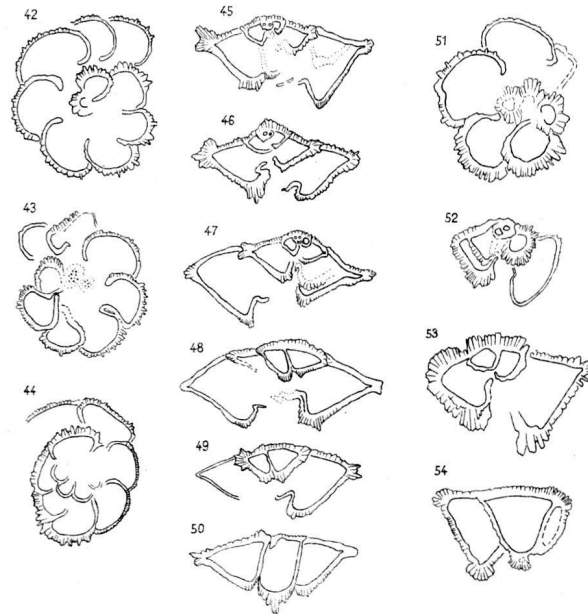
Zwischenform *G. appenninica* - *G. linnei*



Globotruncana linnei D'ORB.



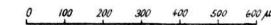
Globotruncana stuarti DE LAPP.



Globorotalien: paleoaeene Form 42-50, eocene Form 51-54

ERKLÄRUNG

- Fig. 1: Prof. I (Gubbio), Schicht 5.
 - 2-3: - I - - 6.
 - 4: Ob Villa dei Furla im Melaurotal.
 - 5: Prof. II (MAculo), Schicht 6.
 - 6: - I, Schicht 6.
- Fig. 7-8: Prof. II, Schicht 3.
 - 9: - I, - 5.
 - 10: - I, - 6.
 - 11: - II, - 6.
 - 12-14: - I, - 6.
- Fig. 15: Prof. II, Schicht 15.
 - 16: - III, (Visso), Schicht 11.
 - 17: - III, - 10.
 - 18-20: - II, Schicht 12.
 - 21: - I, - 13.
- Fig. 22: Prof. II, Schicht 12.
 - 23: - I, - 13.
 - 24: - I, - 15.
 - 25: - II, - 12.
 - 26: - I, - 13.
- Fig. 27: Prof. Fossombrone, Sc. m. *G. linnei* u. *stuarti*.
 - 28: - I, Schicht 27.
 - 29: - I, - 19.
 - 30: - I, - 26.
- Fig. 31: Prof. Fossombrone, Sc. m. *G. linnei* u. *stuarti*.
 - 32: - I, Schicht 19.
 - 33: - II, - 21.
 - 34: - I, - 21.
- Fig. 35: Prof. III, Schicht 29.
 - 36: - II, zwischen Schichten 24 u. 25.
 - 37: - Fossombrone, Sc. mit *G. linnei* u. *stuarti*.
 - 38: - II, Schicht 24.
- Fig. 39: Prof. Fossombrone, Sc. m. *G. linnei* u. *stuarti*.
 - 40: - II, Schicht 21.
 - 41: - II, zwischen Schichten 24 u. 25.
- Fig. 42: Prof. Fossombrone, Sc. m. *Globig. u. Globorot.*
 - 43: - XVIII (MLa Civita), Schicht 9.
 - 44: - III, Schicht 30.
 - 45: - I, - 36.
 - 46: - XIII (Strasse Arrone-Piediluco) Sch. 13.
 - 47: E-Hang des Il Paggiolo.
 - 48: Prof. Fossombrone.
- Fig. 49: Prof. XIII, Schicht 15.
 - 50: - I, - 36.
 - 51: - I, - 38.
 - 52: - X, (Forchetta d'Usigni) Schichten 1.
 - 53: - I, Schicht 37.
 - 54: Ponte di Chiusita.



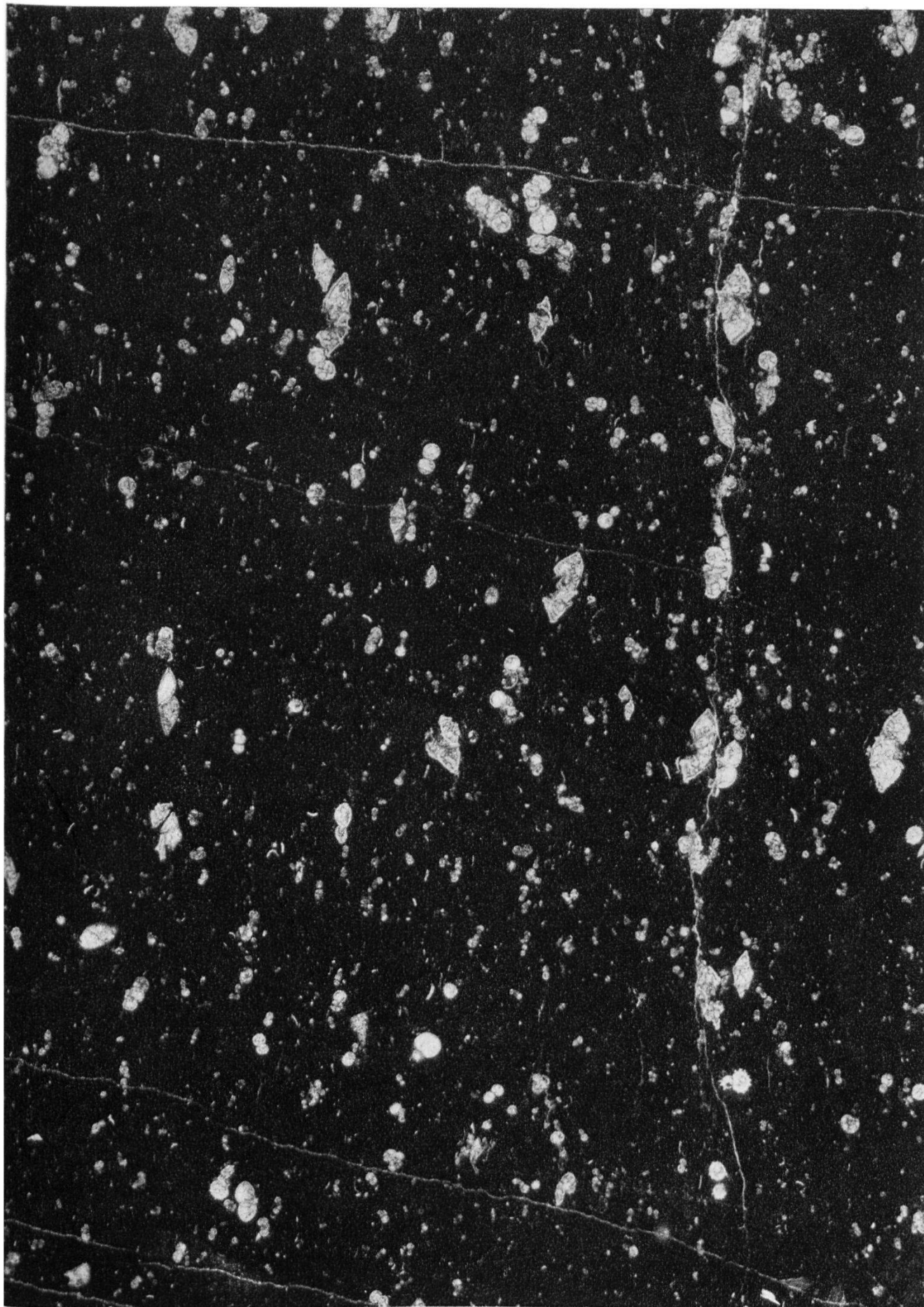


Fig. 1. Scaglia mit *Globotruncana appenninica* n. sp. = Zone 1a'.

Prof. I (Gubbio), Schicht 6 (s. S. 13 u. Tafel I). 21 ×.

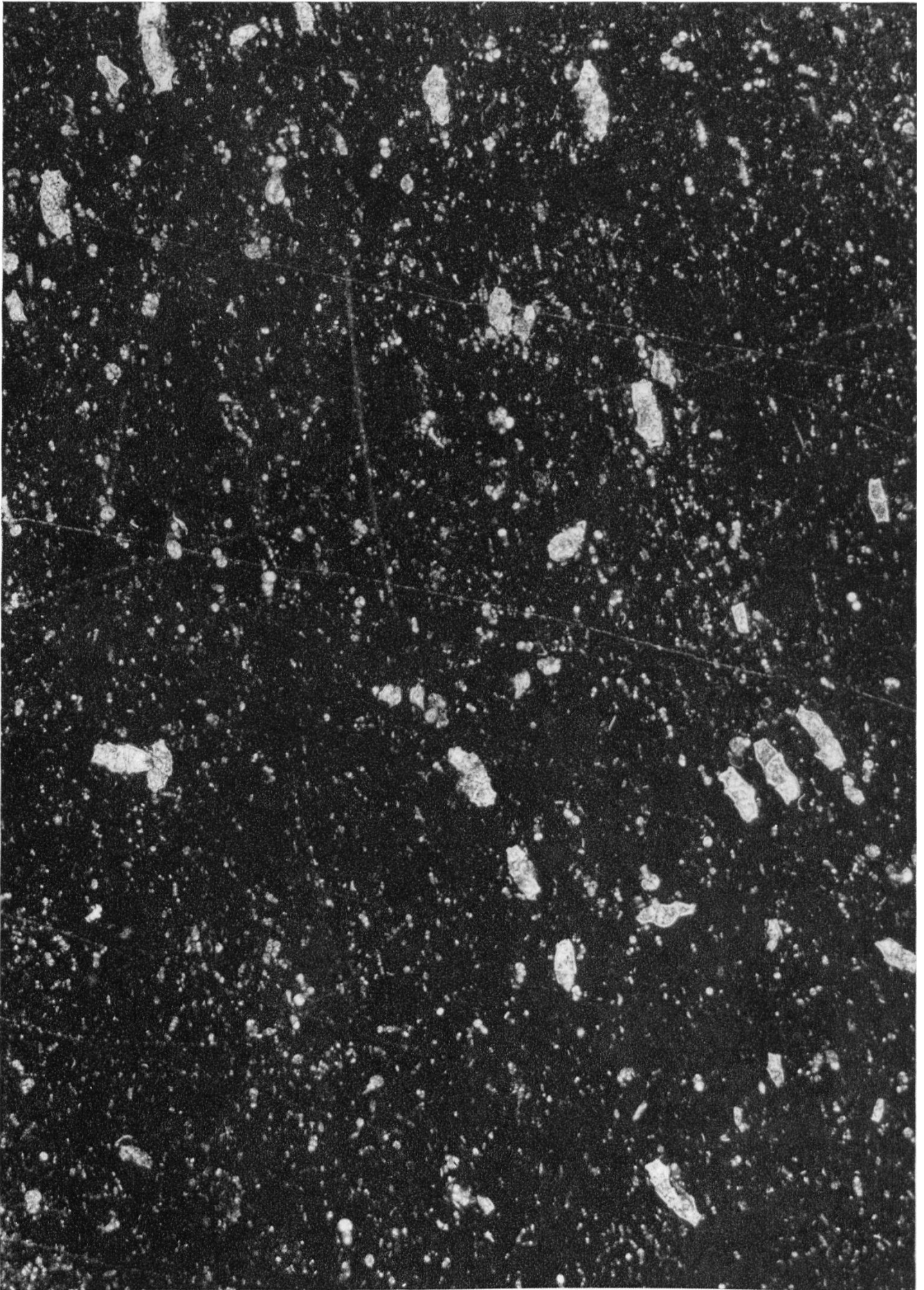


Fig. 2. Scaglia mit *Globotruncana linnei* (D'ORB) = Zone 1a".
Prof. II (M. Acuto), Schicht 18 (s. S. 34 u. Tafel I). 21 ×.

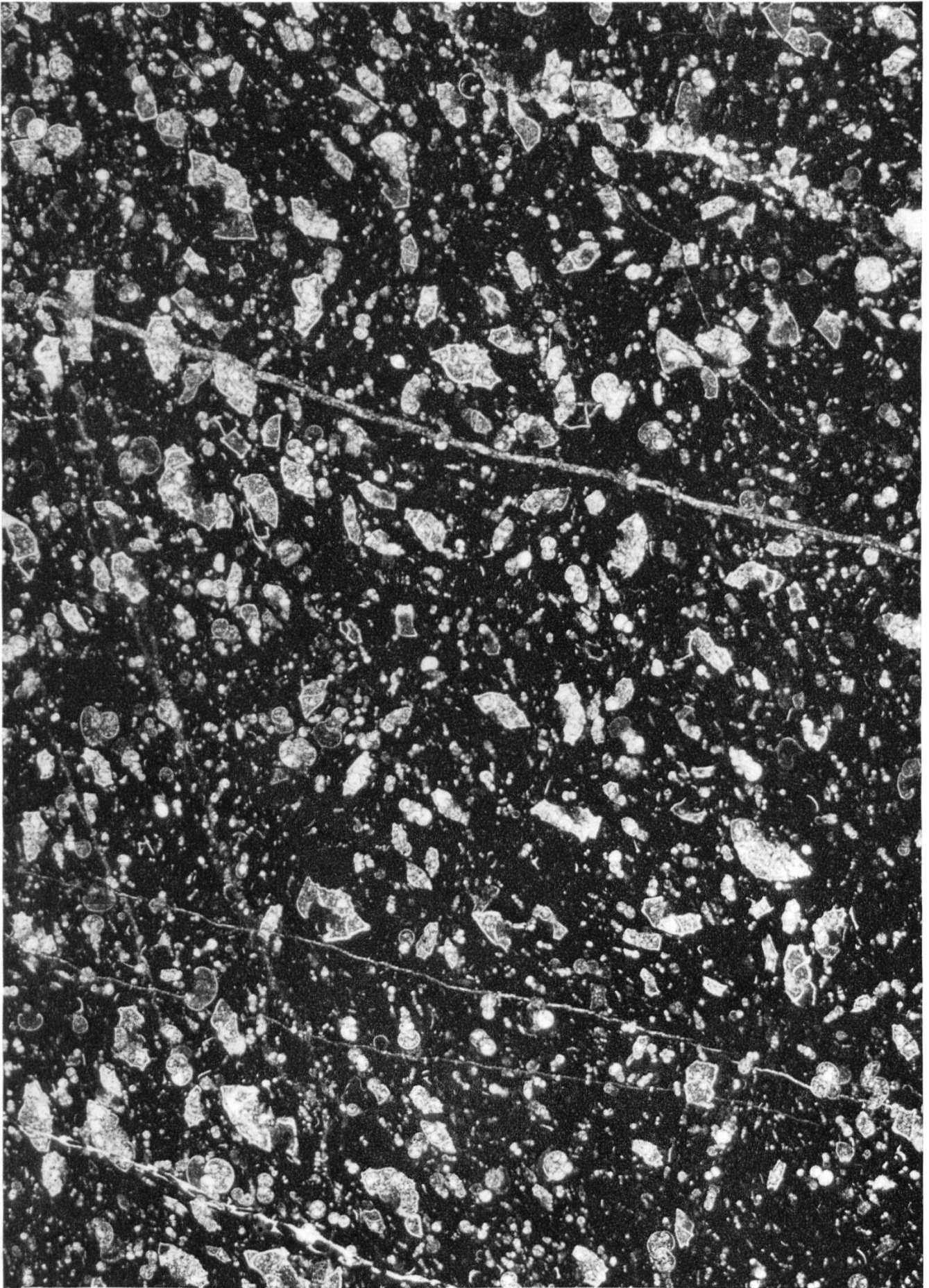


Fig. 3. Scaglia mit *Globotruncana linnei* (D'ORB.) und *Globotruncana stuarti* (DE LAPP.) = Zone 1b'.

Prof. II (M. Acuto), Schicht 23 (s. S. 35 u. Tafel I). 21 ×.

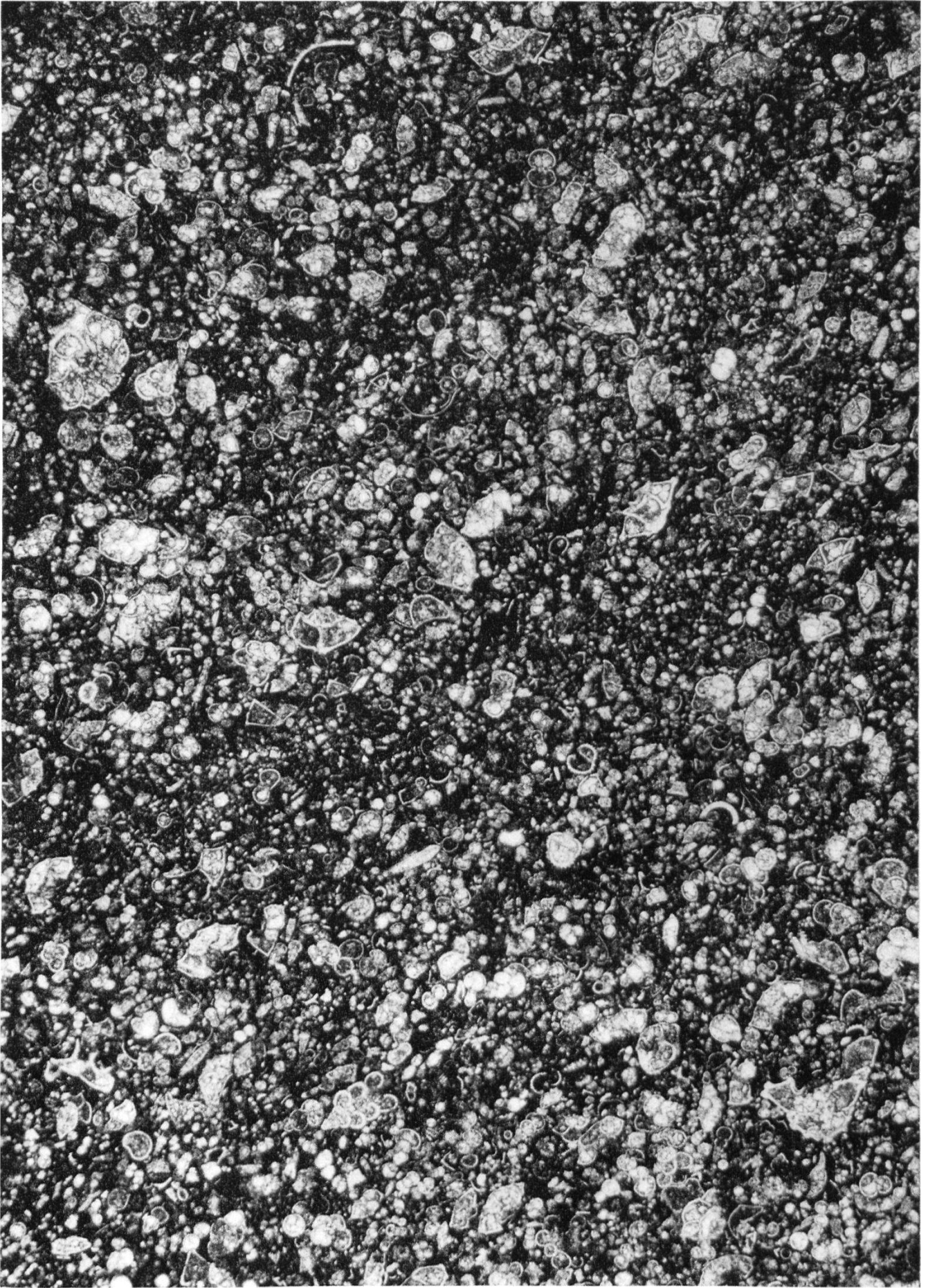


Fig. 4. Scaglia mit vorwiegend *Globotruncana stuarti* (DE LAPP) = Zone 1b''.
Prof. XIII (bei Arrone), Schicht 4 (s. S. 81 u. Tafel IV). 21 ×.

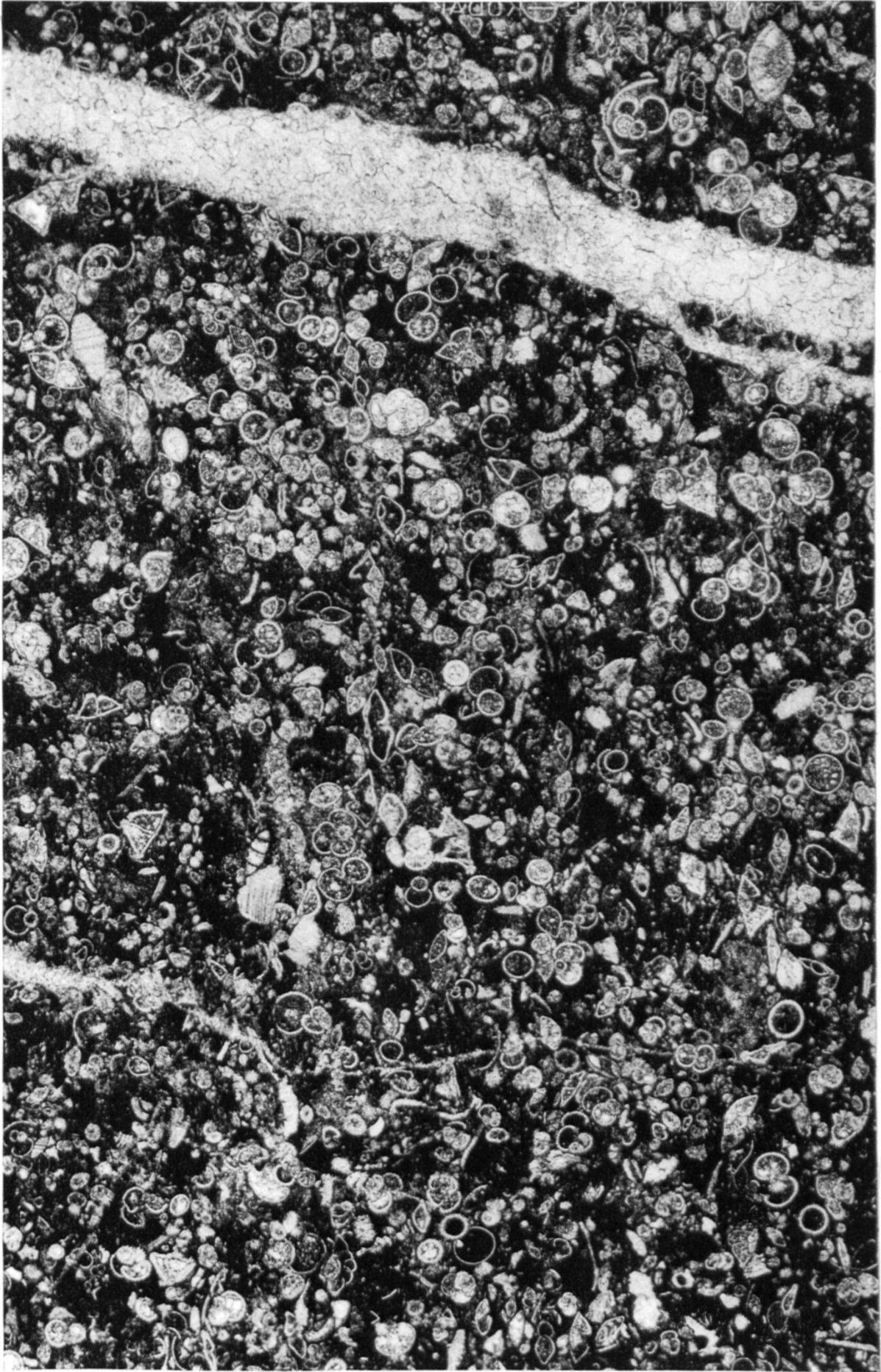
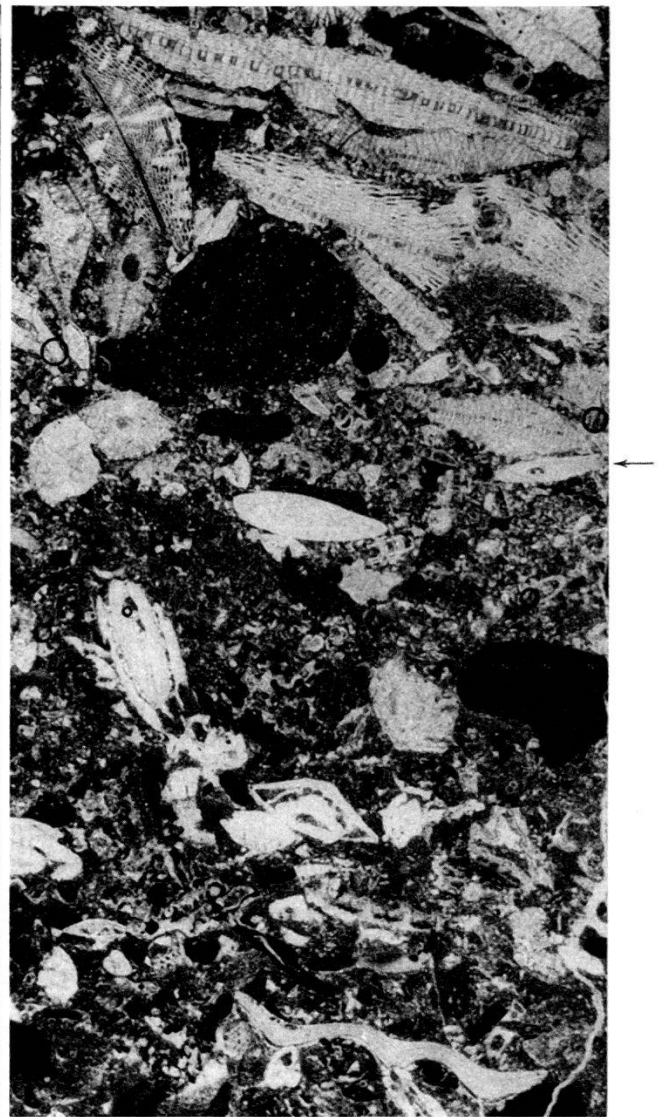
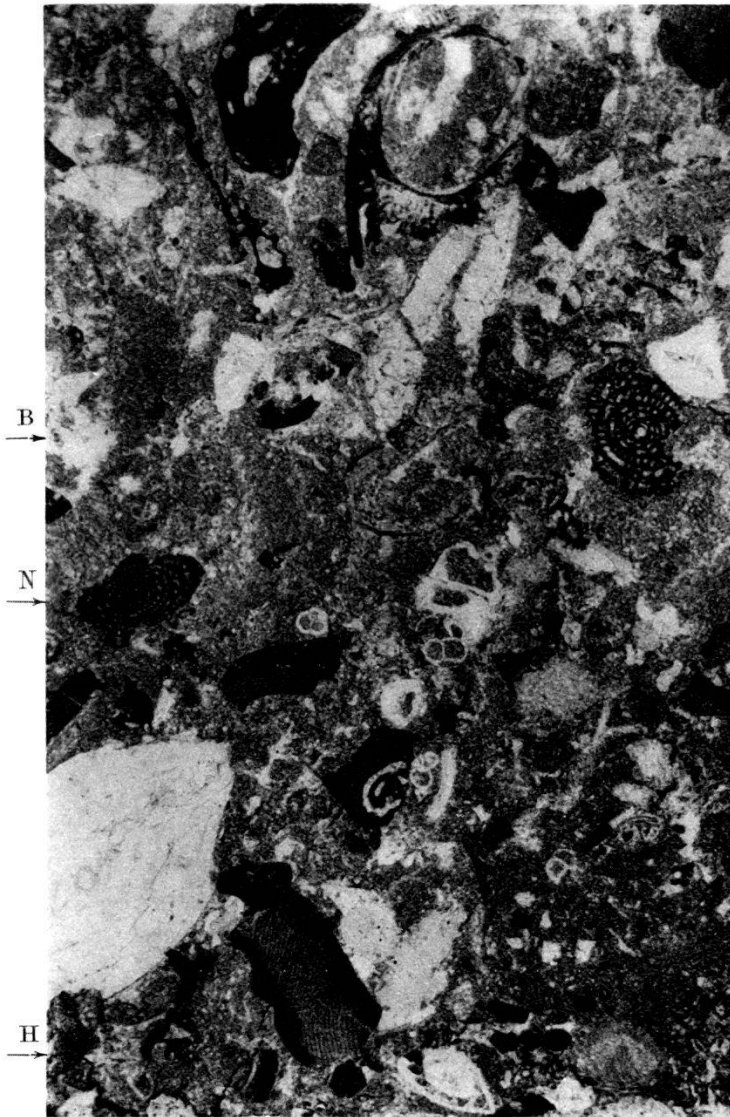


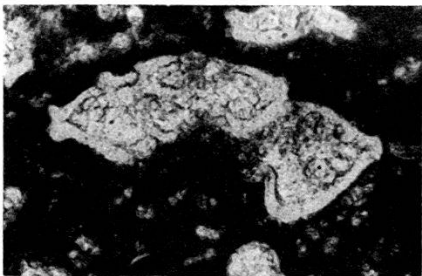
Fig. 5. Scaglia mit Globorotalien = Zone 2a.
Prof. XIII (bei Arrone), Schicht 13 (s. S. 82 u. Tafel IV). 21 ×.

Reprod. Birkhäuser, Basel.



1 a. Stampien mit *Nealveolina* (links, N), *Bullalveolina* (rechts, B), *Halkyardia* (rechts, H), Nummuliten und Lithothamnien. 14 ×.

1 b. Grenze von Stampien zu Aquitanien (erstes Auftreten der Lepidocyclinen bei ←). M. Torretta. 7 ×.



2



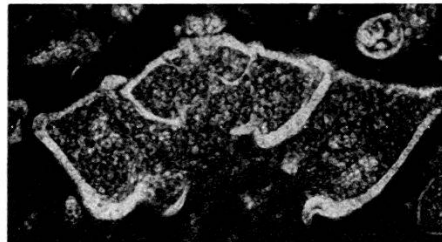
3



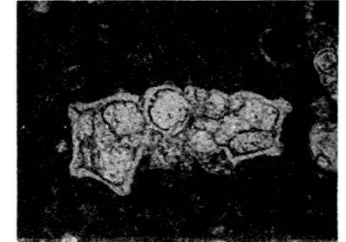
4



5



6



7

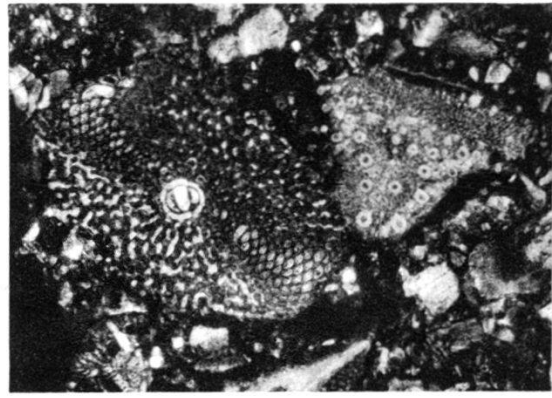
2, 3, 5. Zwischenform *G. appenninica*-*G. linnei*.

2: Prof. II, Schicht 12; 3: Prof. I, Schicht 13; 5: Prof. III, Schicht 11. 52 ×.

4. *Globo truncana appenninica* n. sp. Prof. II, Schicht 3. 52 ×.

6. *Globo truncana stuarti* (DE LAPP.) Prof. II, Schicht 24. 52 ×.

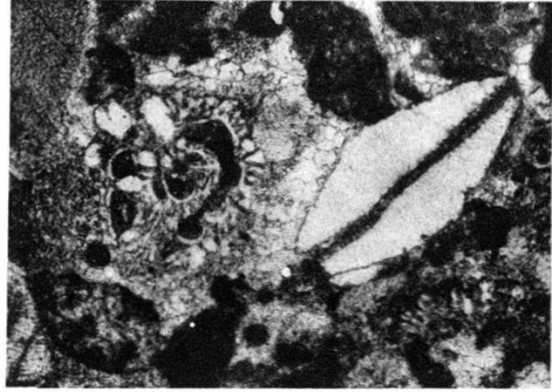
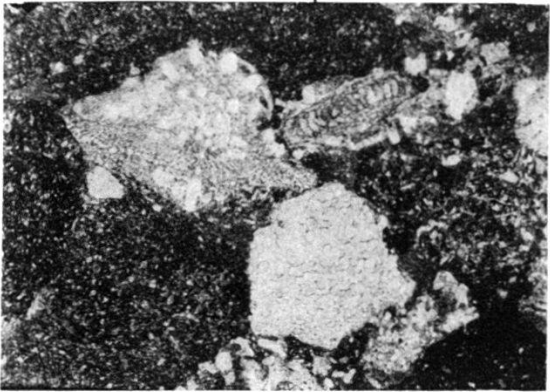
7. *Globo truncana linnei* (D'ORB.) Prof. I, Schicht 27. 52 ×.



I

1

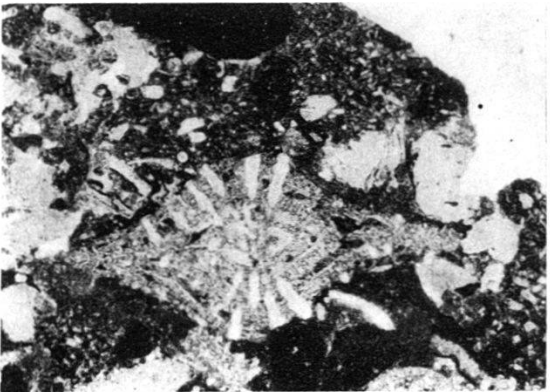
2



I

3

4



5

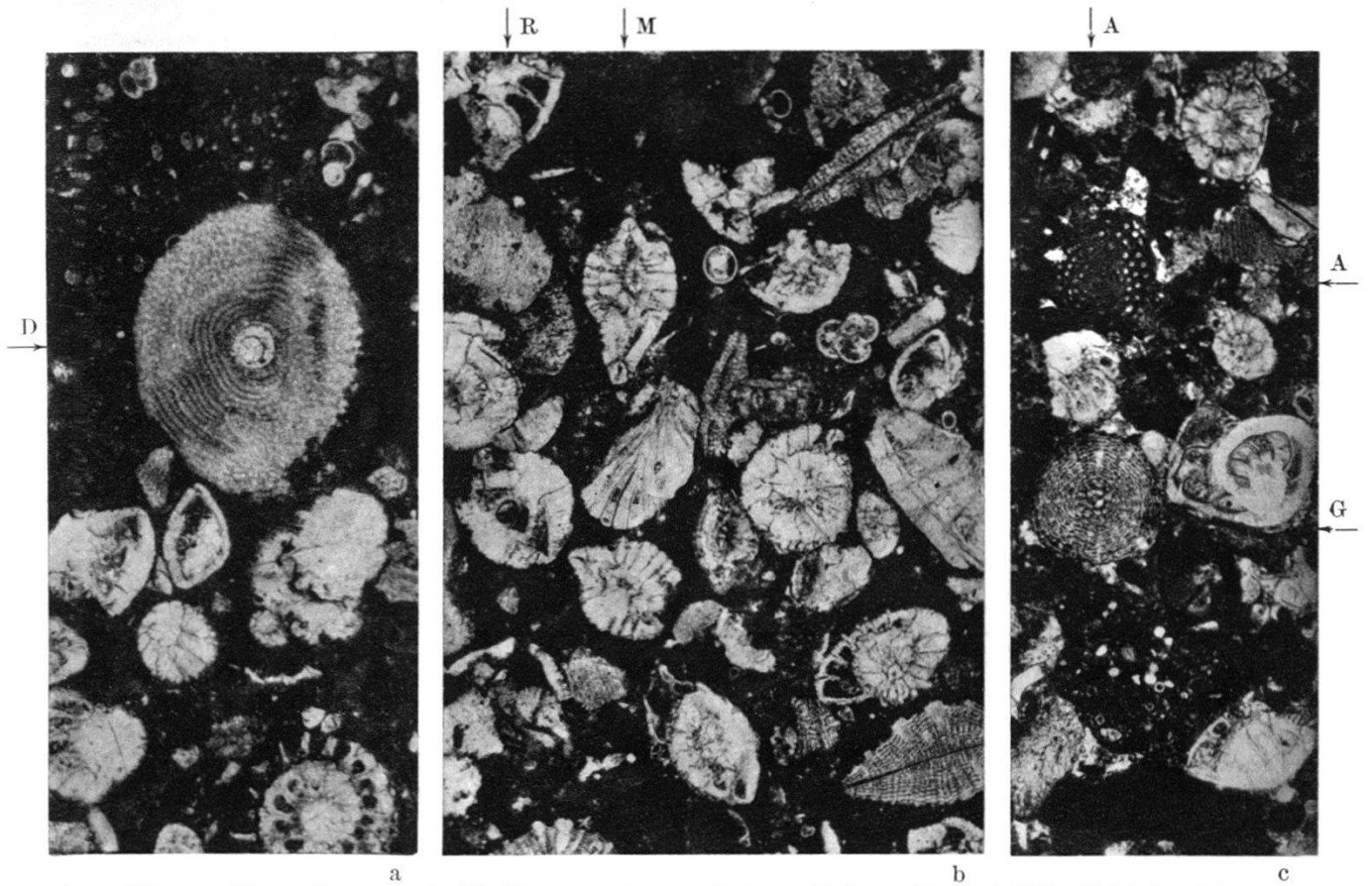
6

Obere Kreide.

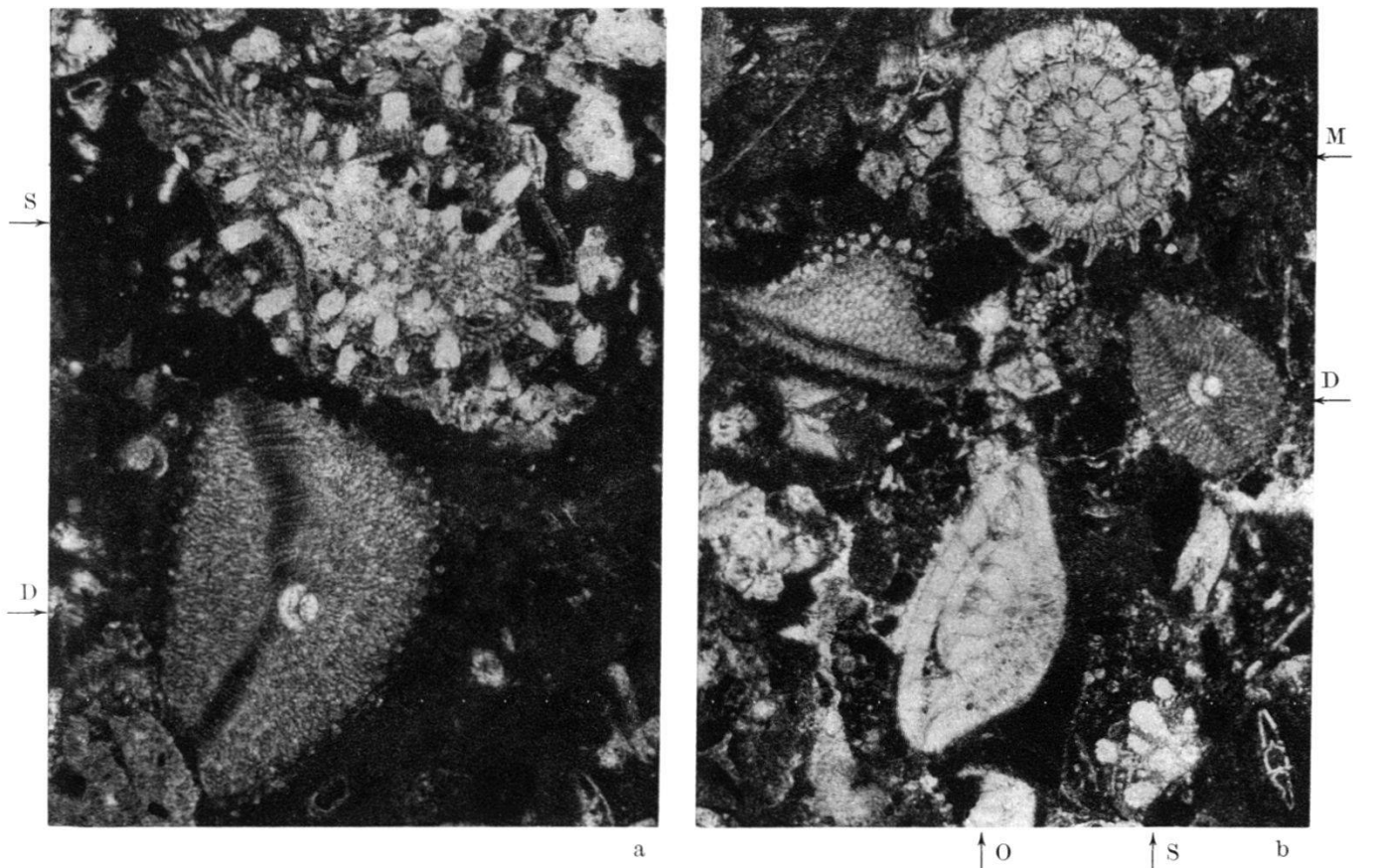
1. Orbitolinenkalk mit Rudistenfragment (Sc. mit *G. appenninica* n. sp.). Prof. XI, Schicht 13. 9 ×.
2. *Orbitoides media* D'ARCH. (links) und *Siderolites calcitrapoides* LAM. Maestrichtien, M. Roccaporena. 9 ×.
3. *Siderolites calcitrapoides* LAM., Orbitoiden und Inoceramenprismen (I). WNW Visso. 9 ×.
4. *Monolepidorbis* sp. (rechts), *Siderolites calcitrapoides* LAM. Prof. IV, Schicht 5. 25 ×.
5. *Siderolites vidali* H. DOUV. Posta. 9 ×.
6. *Simplorbites gensacicus* (LEYM.) Prof. XIII, Schicht 5. 7 ×.

O. Renz phot.

Reprod. Birkhäuser, Basel.



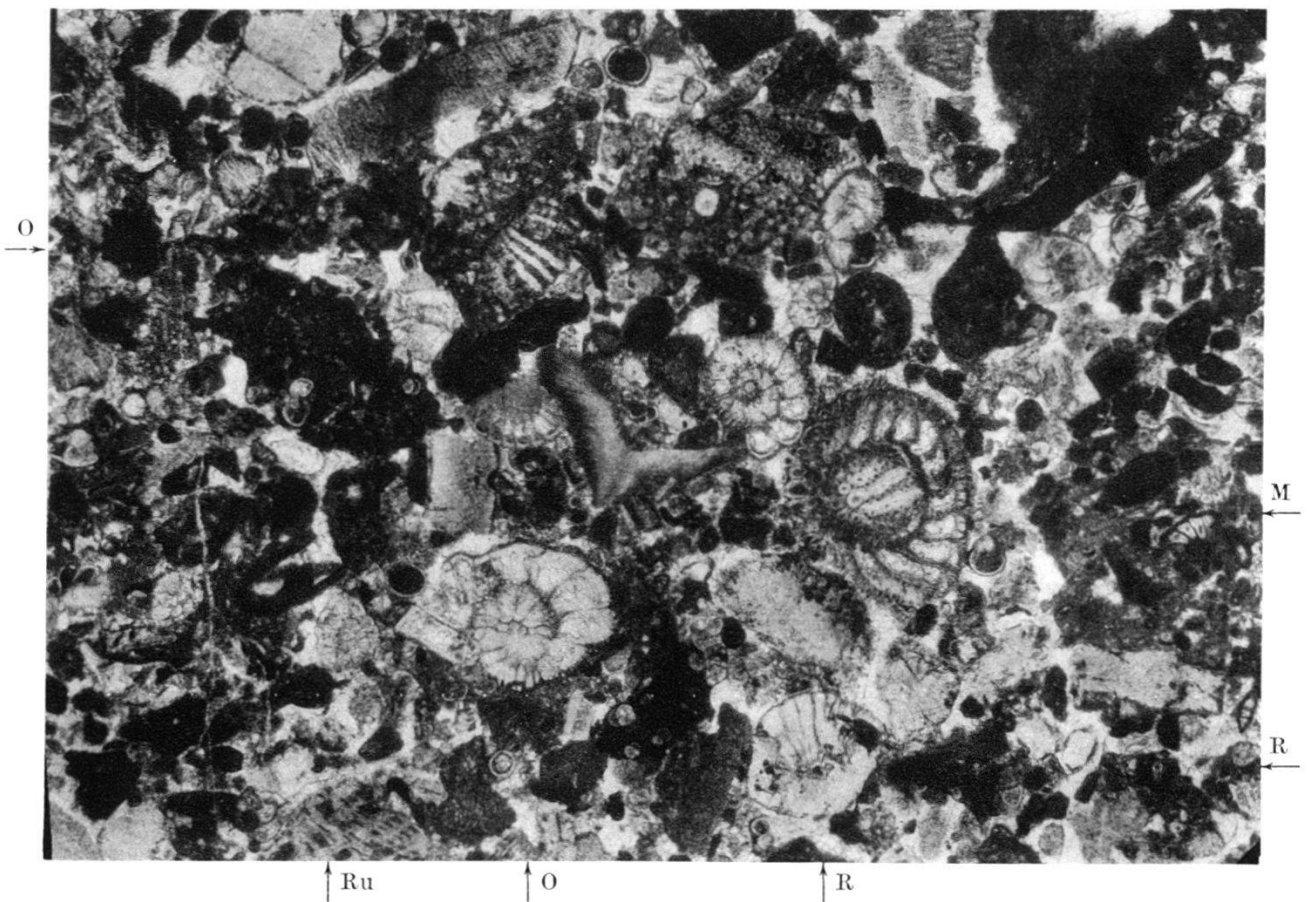
1 a: *Discocyclus* cf. *seunesi* (H. DOUV.) (D) und Rotaliiden. Prof. XIX, Schicht 16;
 b: *Miscellanea* cf. *miscella* (D'ARCH.) (M) und Rotaliiden (R). Prof. XIX, Schicht 21;
 c: *Gypsina globulus* REUSS (G) und *Alveolina* sp. (A). Prof. XIX, Schicht 12. Alle 14 ×.



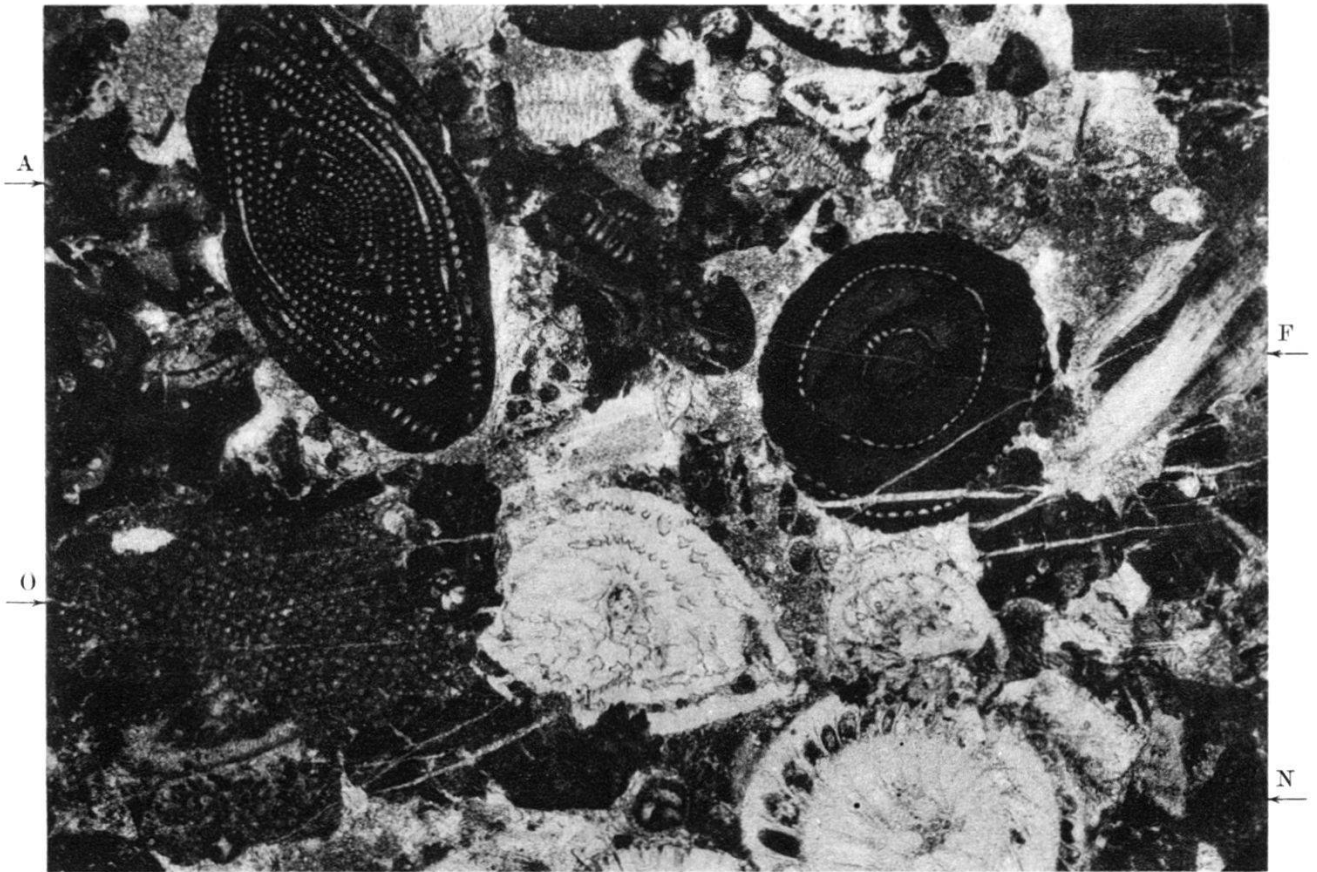
Paleocaen mit eingeschwemmten Kreidefossilien.
 2 a & b: *Miscellanea* cf. *miscella* (D'ARCH.) (M), *Discocyclus* cf. *seunesi* (H. DOUV.) (D), *Operculina* sp. (O) und *Siderolites calcitrapoides* LAM. (S) in Geröllen.
 Prof. XXIII a, Schicht 3. Beide 14 ×.



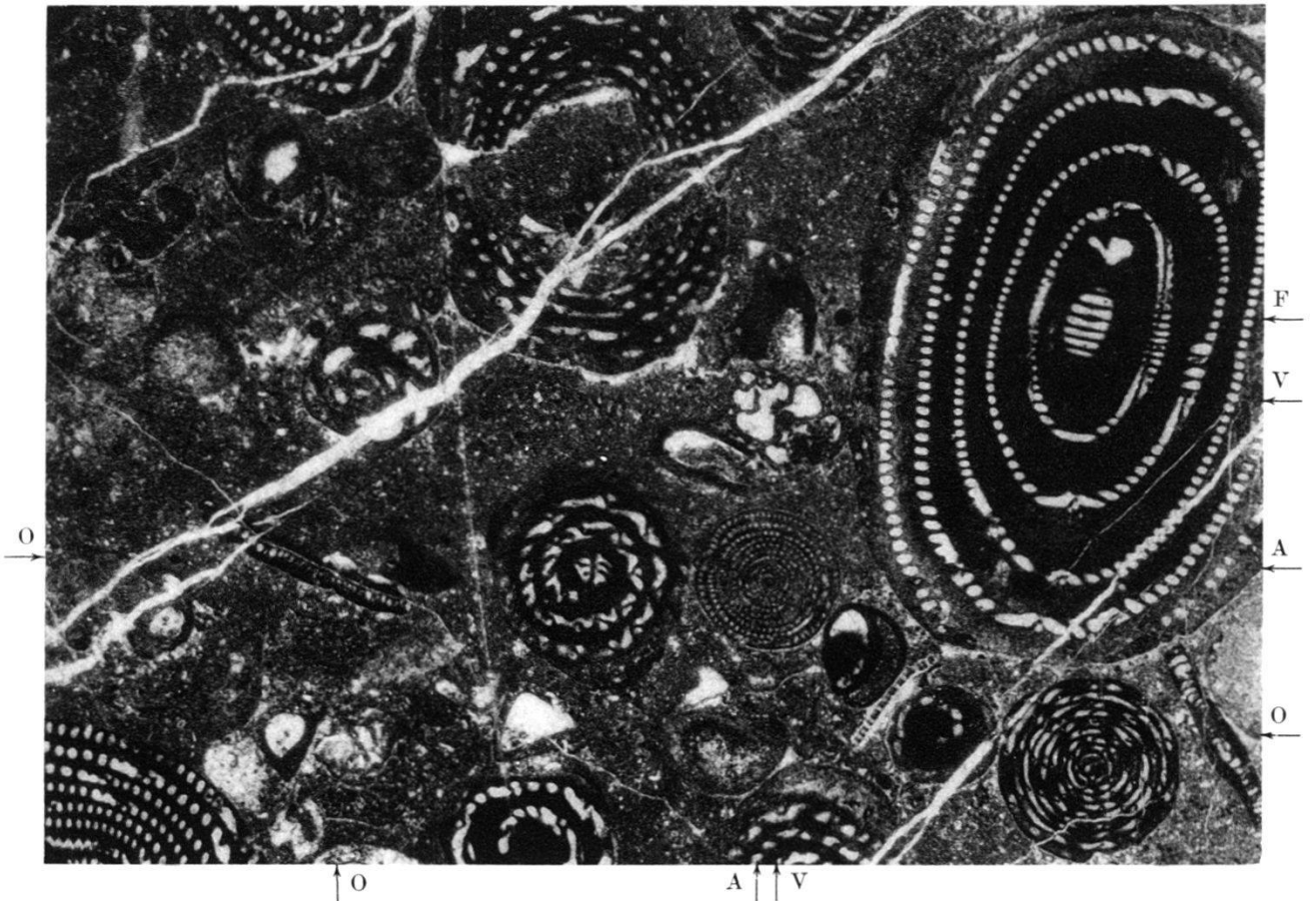
1. *Miscellanea cf. miscella* (D'ARCH.) (M) und eingeschwemmtes Fragment von *Siderolites* (S). Paleocaen. Prof. XIII, Schicht 14. 14 ×.



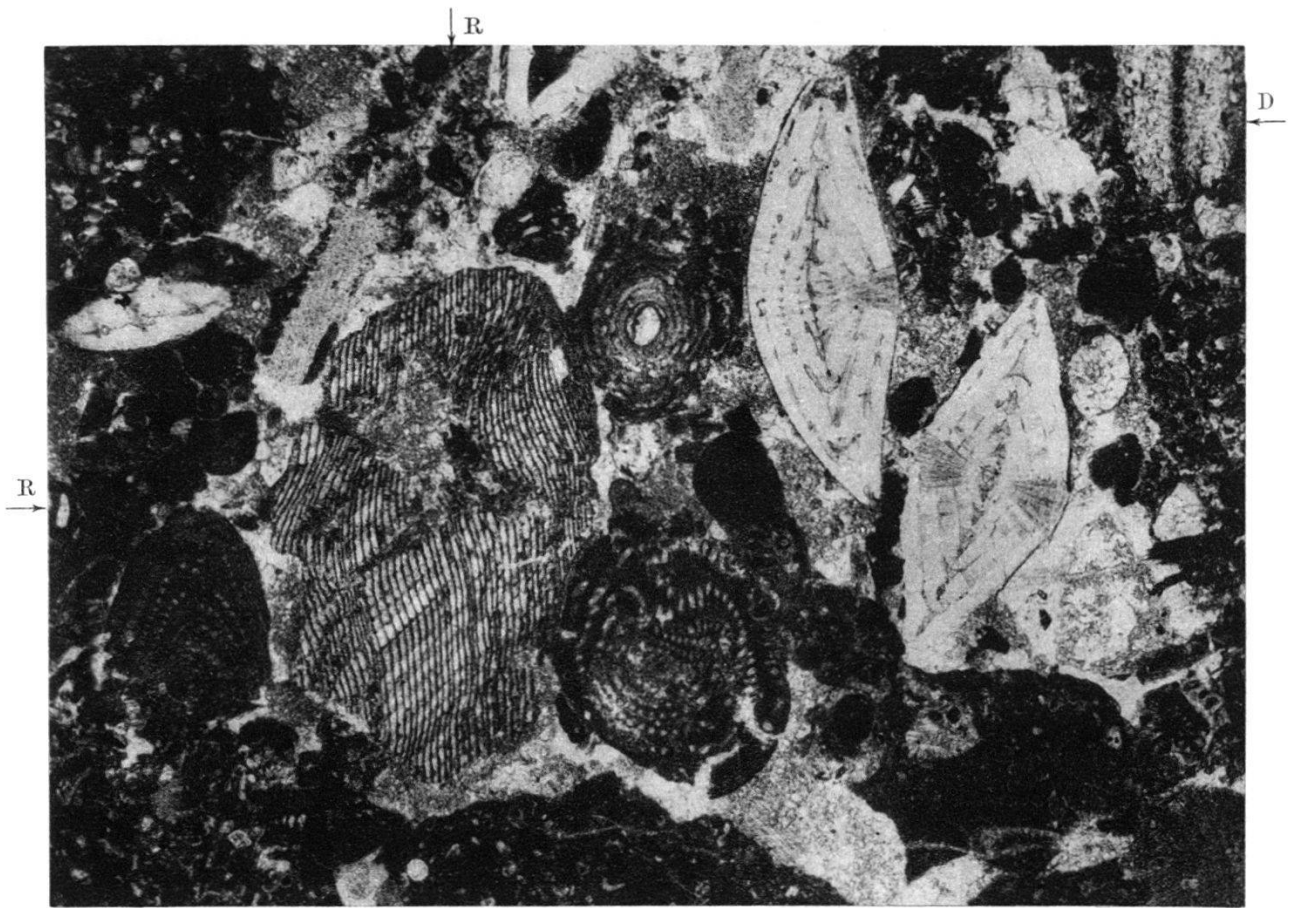
2. *Miscellanea* sp. (M), *Rotalia* (R), eingeschwemmte Fragmente von kretazischen Orbitoiden (O) und Rudisten (Ru) (unten). Paleocaen. Prof. XIII, Schicht 14. 14 ×.



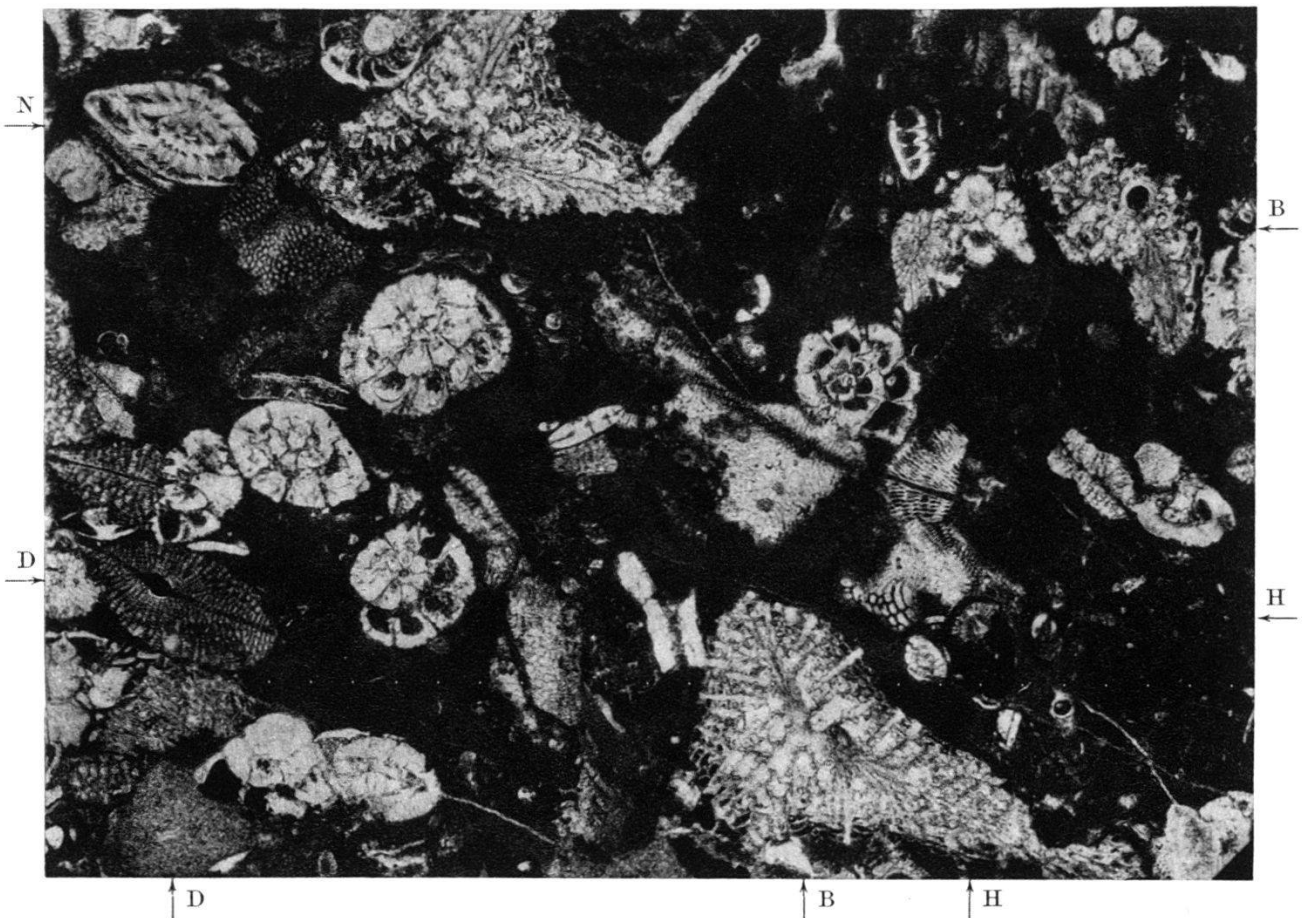
1. Mittleres Eocaen vom M. Montarello (Prof. IV). Radiate Nummuliten (N), gerollte Alveolinen (*A. schwageri* CH.-RISP. (A) und Flosculinen (F)) und Orbitoliten (O). 14 ×.



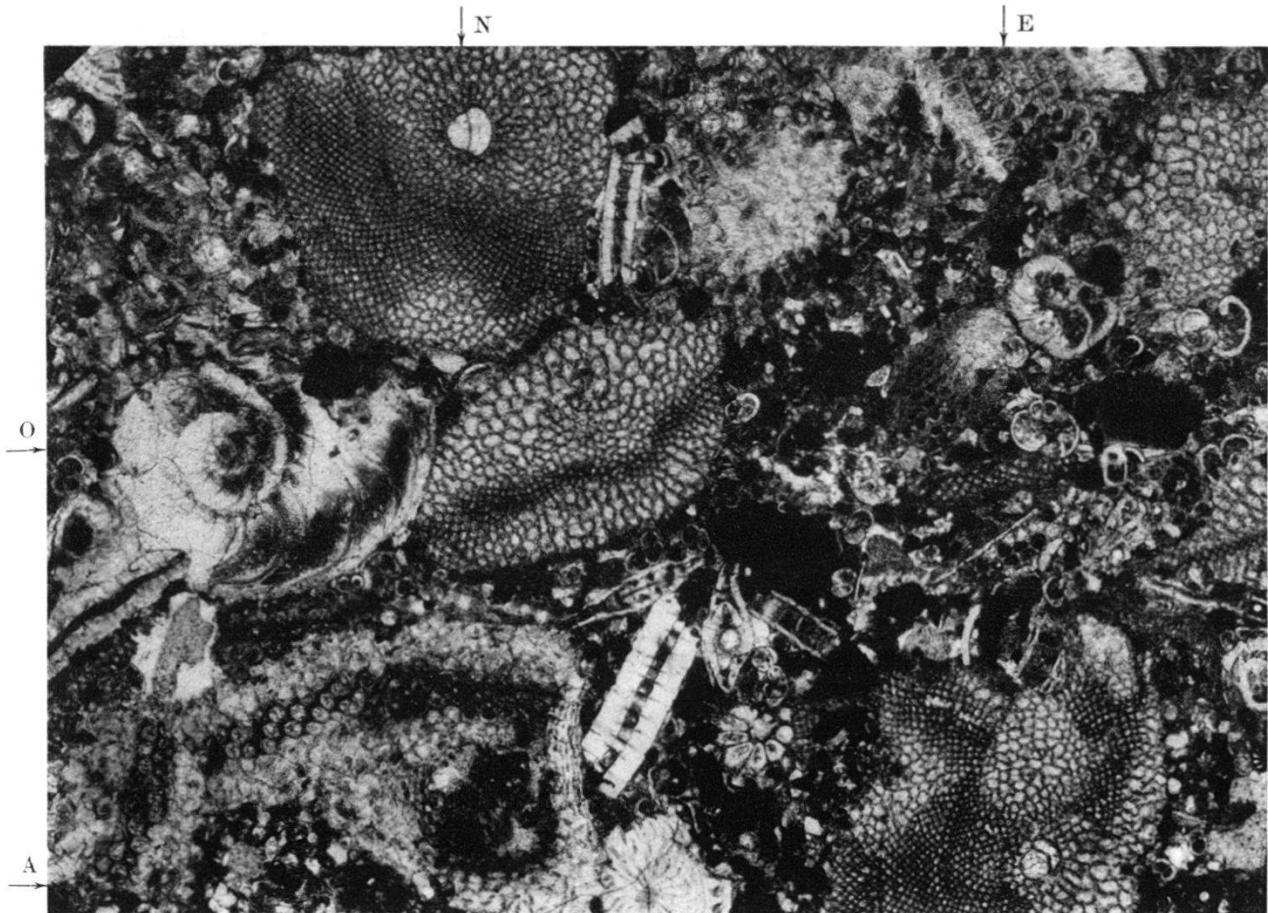
2. Alveolinenkalkgeröll (Yprésien) vom M. Torretta (Prof. XXI/2, Schicht 3) mit *Alveolina* sp., *A. minutula* REICHEL (A) (S. 138), *Alveolina* (*Flosculina* sp.) (F), *Orbitolites complanatus* LAM. (O) und Valvulinen (V). 14 ×.



1. Mittleres Eocaen von Il Poggiolo mit radiaten Nummuliten, gerollten Alveolinen, Discocyclinen (D) und eingeschwemmtem Rudistenfragment (R). 14 ×.



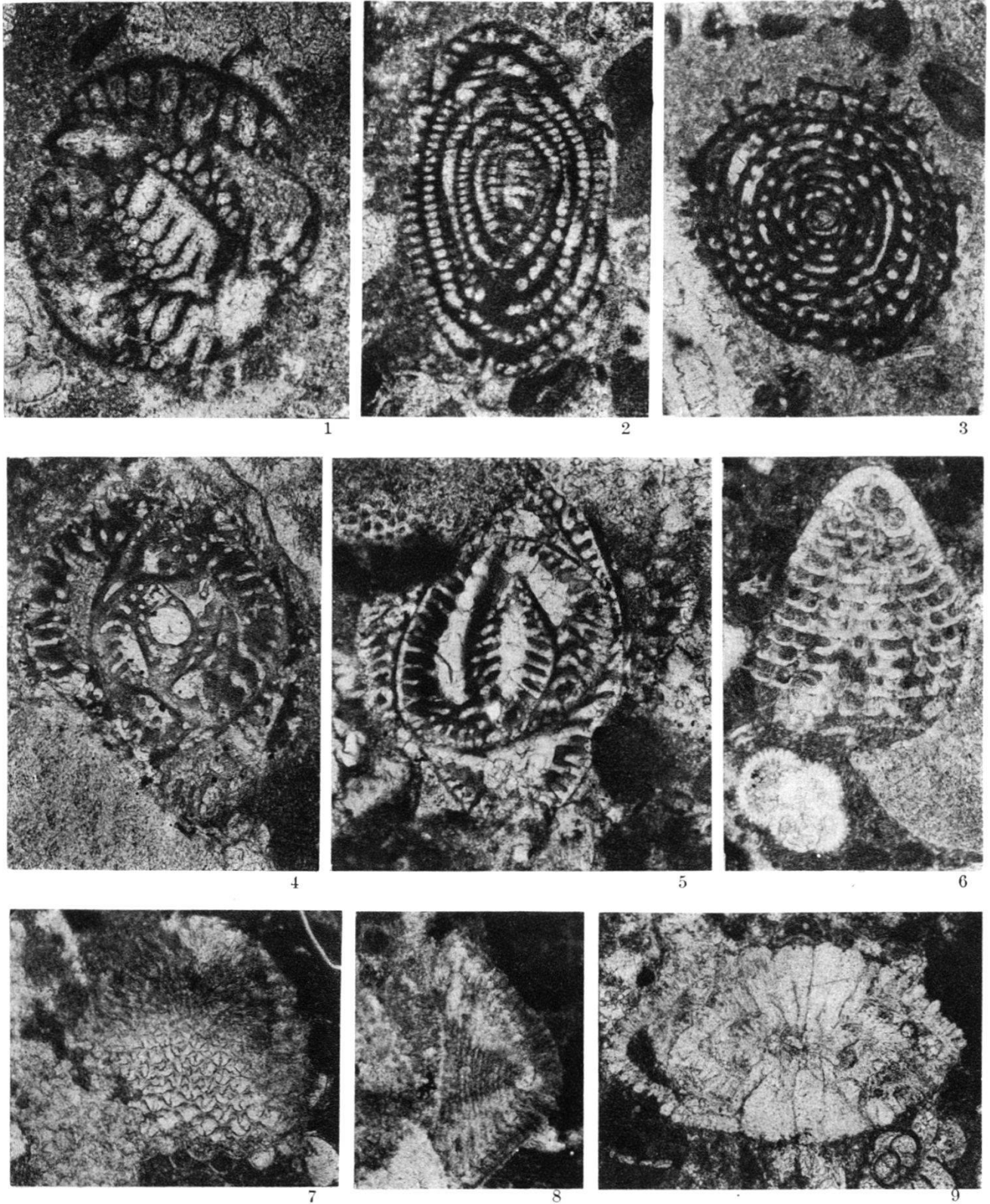
2. Obereocaener Baculogypsinenkalk (*B. meneghinii* var. *tetraedra* SILV. (B)) mit Discocyclinen (D), kleinen radiaten Nummuliten (N), Rotaliiden und *Halkyardia* (H). Prof. XXIV, Schicht 12. 14 ×.



1. Aquitaner Lepidocyclinenkalk (*Nephrolepidina tournoueri* L. & D. (N), Fragmente von Eulepidinen (E), *Operculina complanata* DEFR. (O), Amphisteginen (A), Rotaliiden und Globigerinen). Prof. XXIV, Schicht 27. 14 ×.



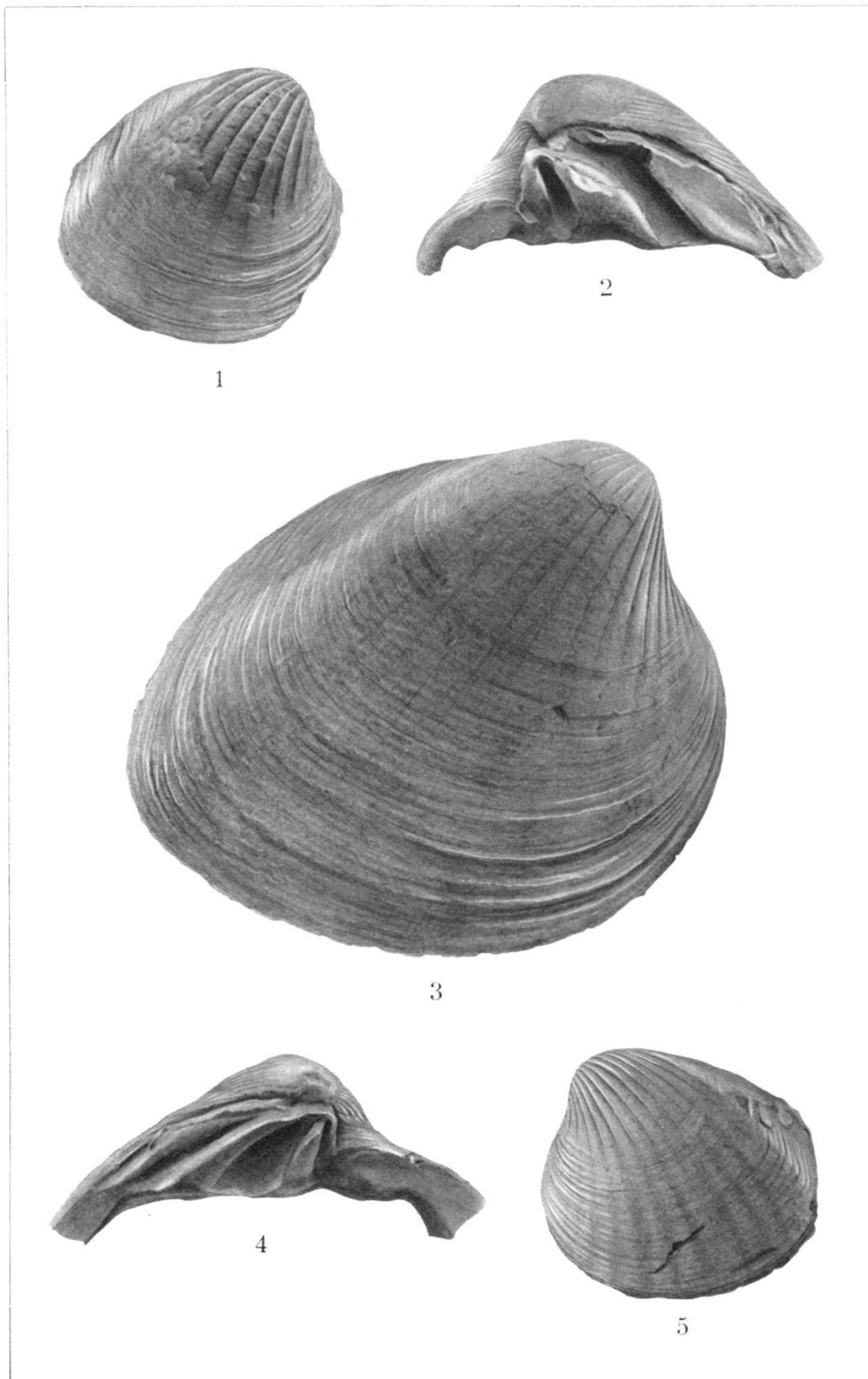
2. Miogypsinenkalk (*M. irregularis* MICH. (I), *M. complanata* SCHLUMB. (C), Nephrolepidinen (N), Fragmente von Eulepidinen (E), Rotaliiden (R)). Prof. XXI/1. 14 ×.



1. *Bullalveolina* cf. *bulloides* (D'ORB.) nach M. REICHEL, (S. 140). Unteres bis mittleres Oligocaen. Prof. XXIV, Schicht 20. Tangential. 55 ×.
2. *Neoalveolina* cf. *pygmaea* HANZAWA. Unteres Aquitanien. Prof. XXI/11. Tangential. 55 ×.
3. *Neoalveolina* sp. Oberstes Eocaen. Prof. XXIV, Schicht 16. Fast axial. 55 ×.
- 4 & 5. *Trillina howchini* SCHLUMB. Burdigalien, M. Galletto, südl. M. Murlo. 55 ×.
6. *Chapmanina gassinensis* SILV. Grenze Oberes Eocaen-Oligocaen. Prof. XXIV, Schicht 18. 40 ×.
- 7 & 8. *Halkyardia minima* (LIEBUS)
7: Prof. XXIV, Schicht 9;
8: Prof. XIV A, Schicht 5. 52 ×.
9. *Miscellanea miscella* (D'ARCH.) Prof. XVIII, Schicht 6. 30 ×.

Erklärung zu Tafel XVI.

- | | Seite |
|--|-------|
| Fig. 1. <i>Venericardia</i> cf. <i>parinensis</i> OLSSON. Fundort Nr. 22 (Marac Quarry). Alter: Soldadoformation, Paleocaen. — Mus. Basel Nr. 207 (22). 1 : 1 | 176 |
| Fig. 2. <i>Venericardia tonosiensis</i> n. sp. Paratyp. Fundort: Zw. Bucaru an d. Mündung des Rio Tonosi u. Punta Guanico, Prov. Los Santos, Panama. Alter ? Unt. Obereocaen. — Mus. Basel Nr. 210. 1 : 1. A. A. OLSSON coll. | 168 |
| Fig. 3. <i>Venericardia tonosiensis</i> n. sp. Holotyp. Fundort u. Alter wie bei Fig. 2. — Mus. Basel Nr. 211. 1 : 1. A. A. OLSSON coll. | 168 |
| Fig. 4. <i>Venericardia tonosiensis</i> n. sp. Paratyp. Fundort u. Alter wie bei Fig. 2. — Mus. Basel Nr. 212. 1 : 1. A. A. OLSSON coll. | 168 |
| Fig. 5. <i>Venericardia</i> cf. <i>parinensis</i> OLSSON. Fundort Nr. 22 (Marac Quarry). Alter: Soldadoformation, Paleocaen. — Mus. Basel Nr. 206 (22). 1 : 1 | 176 |
-



Erklärung zu Tafel XVII:

| | Seite |
|--|-------|
| <p>Fig. 1. <i>Venericardia ameliae maracensis</i> HARRIS. Fundort Nr. 22 (Marac Quarry). Alter: Soldadoformation, Paleocaen. — Mus. Basel Nr. 213 (22). 1:1. Exemplar mit ziemlich deutlicher Dreiteilung der Rippen</p> | 201 |
| <p>Fig. 2. <i>Venericardia ameliae maracensis</i> HARRIS. Fundort Nr. 22 (Marac Quarry). Alter: Soldadoformation, Paleocaen. — Mus. Basel Nr. 214 (22). 1:1</p> <p>a) Linke Klappe mit kräftigen, warzenförmigen Dornen. b) Ansicht desselben Gehäuses von vorn.</p> | 201 |
| <p>Fig. 3. <i>Venericardia ameliae</i> PERON. Fundort Nr. 22 (Marac Quarry). Alter: Soldadoformation, Paleocaen. — Mus. Basel Nr. 215 (22). 1:1</p> | 200 |
| <p>Fig. 4. <i>Venericardia ameliae maracensis</i> HARRIS. Fundort Nr. 22 (Marac Quarry). Alter: Soldadoformation, Paleocaen. — Mus. Basel Nr. 216 (22). 1:1</p> <p>a) Innenansicht einer rechten Klappe. b) Aussenansicht derselben Klappe. Relativ niedriges Gehäuse mit stark gerundeten Rippen.</p> | 201 |



1



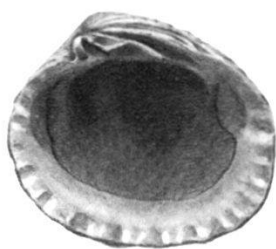
2a



3



2b



4a



4b

Série stratigraphique de la zone ultrahelvétique.

— = Base du faciès Flysch

J. TERCIER: Zone ultrahelvétique en Autriche.

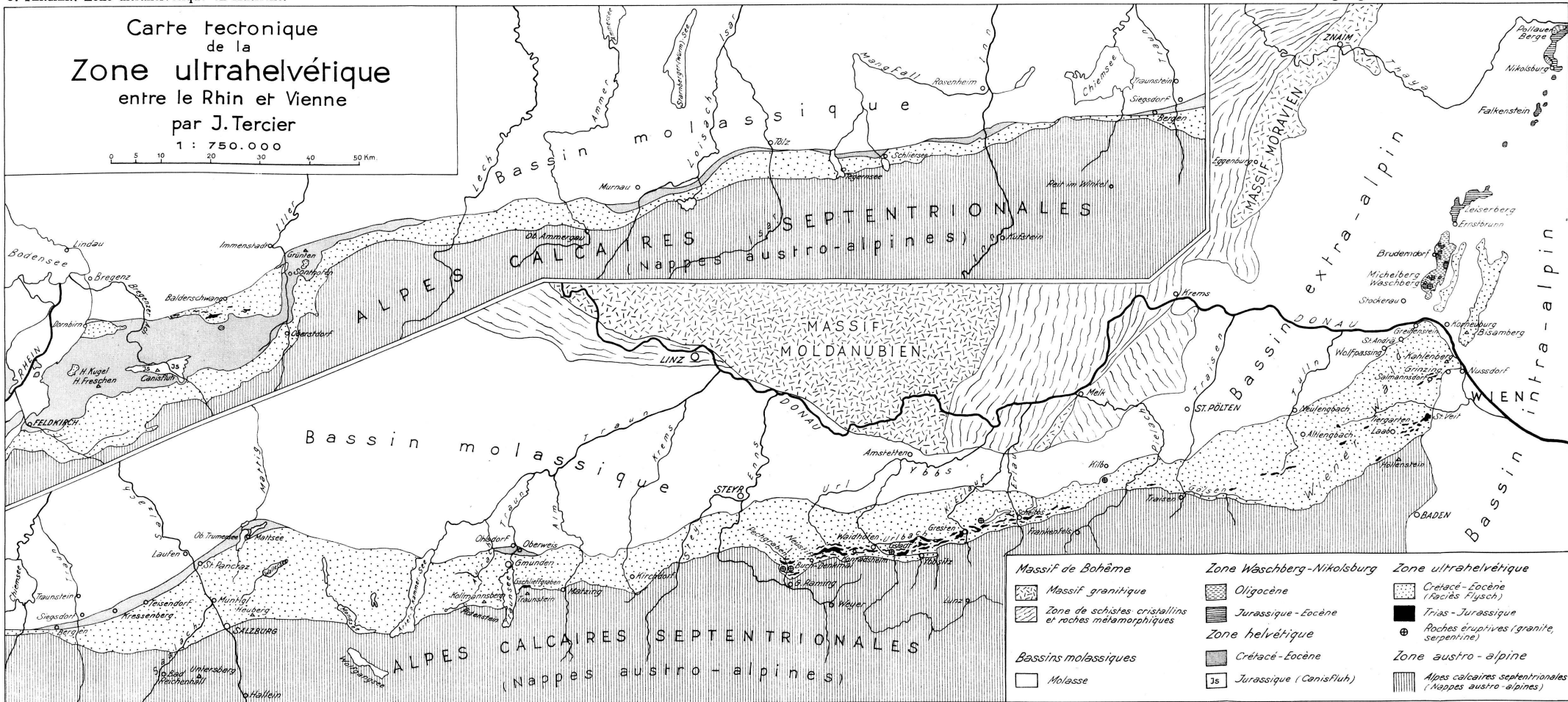
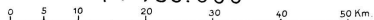
Eclogae geol. Helv., Vol. 29, Planche XVIII.

| | Suisse occidentale | Suisse orientale — Vorarlberg | Bavière | Région de Salzbourg—Traunsee | Région de Waidhofen | Région de Scheibbs | Wienerwald et zone des klippen (Ober St. Veit, Lainzer Tiergarten) | |
|---|---|--|--|---|---|---|---|---|
| Oligocène Eocène Paléocène | — Grès du Gurnigel Wildflysch | — Grès à nummulites Wildflysch | Grès à nummulites Calc. bréchoïde à nummulites | Grès à nummulites Calcaire à nummulites | Grès à nummulites Calcaire à nummulites | Grès glauconieux à nummulites | Grès de Greifenstein | Grès de Laab |
| Crétacé | Sénonien: Couches de Leimern Turonien: Calcaires et marnes Albien Barrémien-Aptien } Sédimentation cyc- Hauterivien } lique, avec nom- Valanginien } breuses ammonites Berriasien } | Sénonien: Marnes, local. faciès Wildflysch Turonien: Calcaires et marnes Barrémien-Aptien: Couches du Drusberg | Marnes rouges avec grès Couches à ciment (à la base, faciès Wildflysch) Couches à Orbitolines | Marnes rouges et grès à inocérames Flysch à inocérames (Flysch de Muntigl ou de Salzbourg) | Schistes bariolés ? Couches à inocérames Flysch néocomien | Schistes bariolés Couches à inocérames Flysch néocomien | Schistes bariolés ? Couches à inocérames | Grès glauconieux Flysch néocomien |
| Jurassique | Calcaire tithonique à <i>Aptychus</i> Malm } Succession complète des étages Dogger } avec abondantes zones à am- Lias } monites | Calcaire gréseux à <i>Aptychus</i> (Fläscherberg) | Calcaire à <i>Aptychus</i> | ? ? Manque à l'affleurement Lias: Couches de Gresten (Gschlieffgraben) | Marnes et calcaires à <i>Aptychus</i> (Tithonique-Valanginien) Malm } Dogger } Succession complète des étages avec abondantes zones à ammonites Lias } | | | |
| Trias supérieur | Marnes bariolées Dolomie et corgneule Gypse | | | | Couches de Kössen Corgneule, Dolomie | | Couches de Kössen | |
| Soubassement cristallin | Connu seulement en dépôts secondaires dans le Flysch, accessoirement dans la série jurassique | | | | Granite du Buch-Denkmal | Serpentine de Kilb ? | En dépôts secondaires dans le Flysch | |

Carte tectonique de la Zone ultrahelvétique entre le Rhin et Vienne

par J. Tercier

1 : 750.000



| | | |
|---|---|--|
| <p>Massif de Bohême</p> <ul style="list-style-type: none"> Massif granitique Zone de schistes cristallins et roches métamorphiques <p>Bassins molassiques</p> <ul style="list-style-type: none"> Molasse | <p>Zone Wäschberg-Nikolsburg</p> <ul style="list-style-type: none"> Oligocène Jurassique-Eocène <p>Zone helvétique</p> <ul style="list-style-type: none"> Crétacé-Eocène Jurassique (Canisfluh) | <p>Zone ultrahelvétique</p> <ul style="list-style-type: none"> Crétacé-Eocène (Faciès Flysch) Trias-Jurassique Roches éruptives (granite, serpentinite) Zone austro-alpine Alpes calcaires septentrionales (Nappes austro-alpines) |
|---|---|--|

Erklärung zu Tafel XX



Fig. 1. Feinkonglomeratischer Kalk mit

- 1 *Orbitoides media* (D'ARCH.), Kreide
- 2 *Nummulites subatacicus* H. DOUV., Eocaen
- 3 *Eulepidina* sp., Aquitanien
- 4 *Amphistegina* sp.
- 5 *Rotalia tuberculata* SCHUBERT
- 6 *Operculina* sp.
- 7 *Lithothamnium*

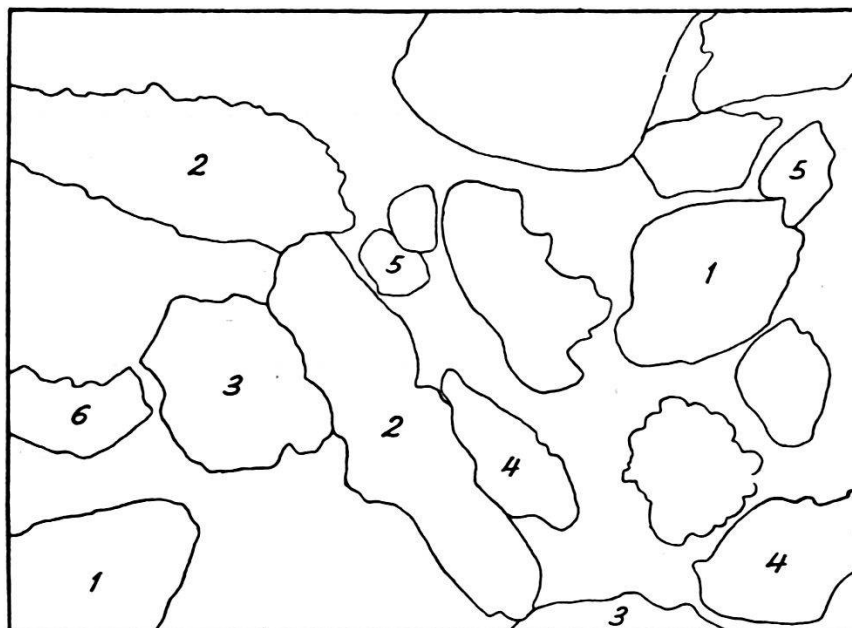


Fig. 2.

- 1 *Orbitoides media* (D'ARCH.), Kreide
 - 2 *Eulepidina dilatata* (MICH.), Aquitanien
 - 3 *Nephrolepidina* sp.
 - 4 *Heterostegina* sp.
 - 5 *Amphistegina* sp.
 - 6 *Miogypsina complanata* SCHLUMB., Burdigalien
- } Oligocaen-Miocaen

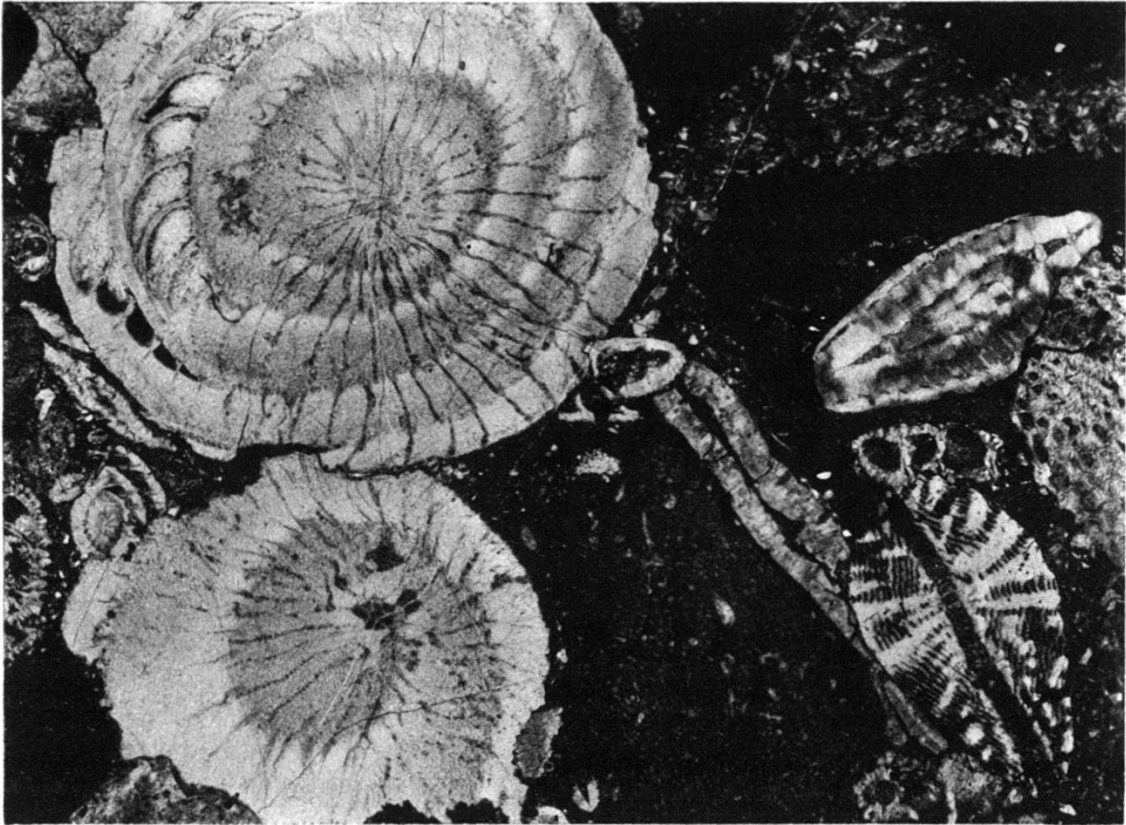


Fig. 1. Vergr. 15 ×.

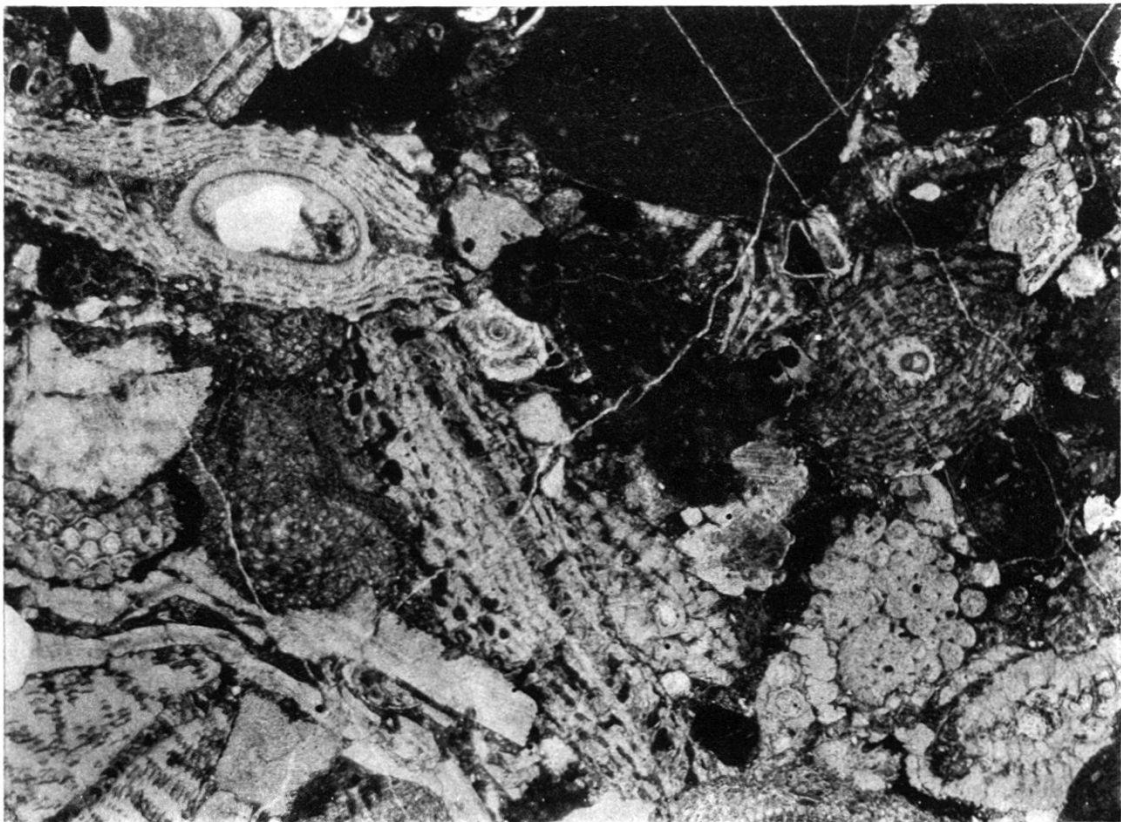


Fig. 2. Vergr. 15 ×.

Erklärung zu Tafel XXI

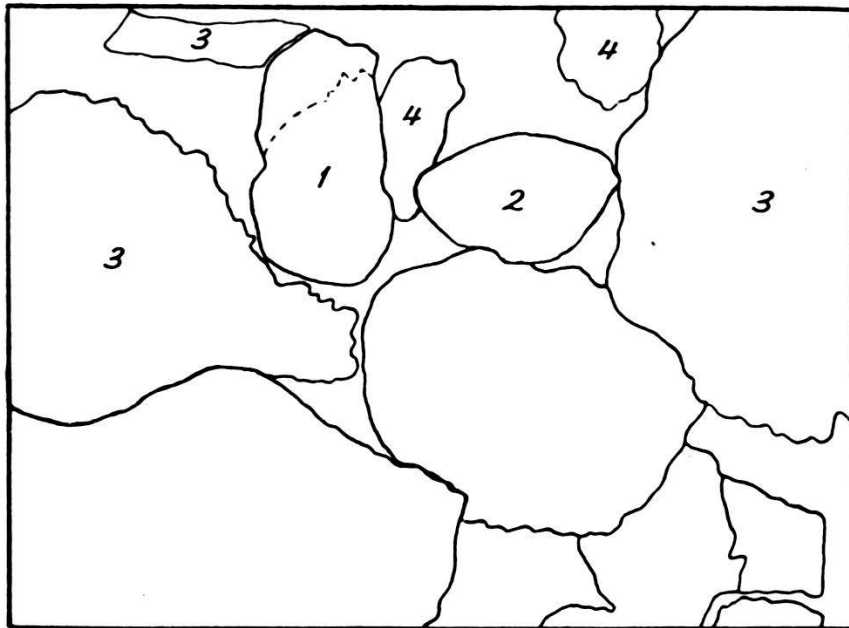


Fig. 1. Feinkonglomeratischer Kalk mit

- 1 *Siderolites* cf. *calcitrapoides* LAM., Oberkreide
- 2 *Nummulites* sp., Eocaen
- 3 *Eulepidina dilatata* (MICH.), Aquitanien
- 4 *Miogypsina complanata* SCHLUMB., Burdigalien

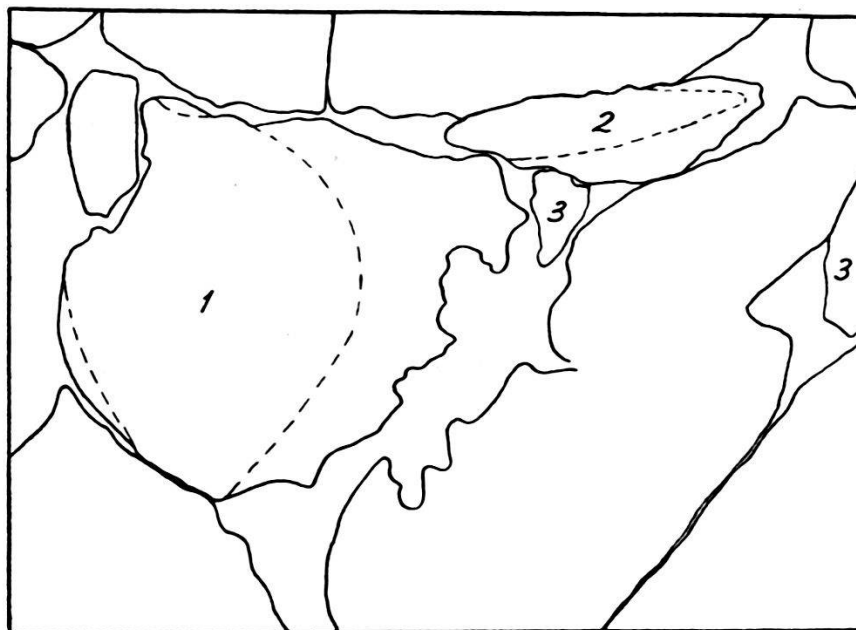


Fig. 2.

- 1 *Nummulites* cf. *subatacicus* H. DOUV., Eocaen
- 2 *Discocyclina* sp. in Geröll, Eocaen
- 3 Bruchstücke von *Lepidocyclinen* in der Grundmasse, Oligocaen



Fig. 1. Vergr. 15 ×.



Fig. 2. Vergr. 15 ×.

Erklärung zu Tafel XXII

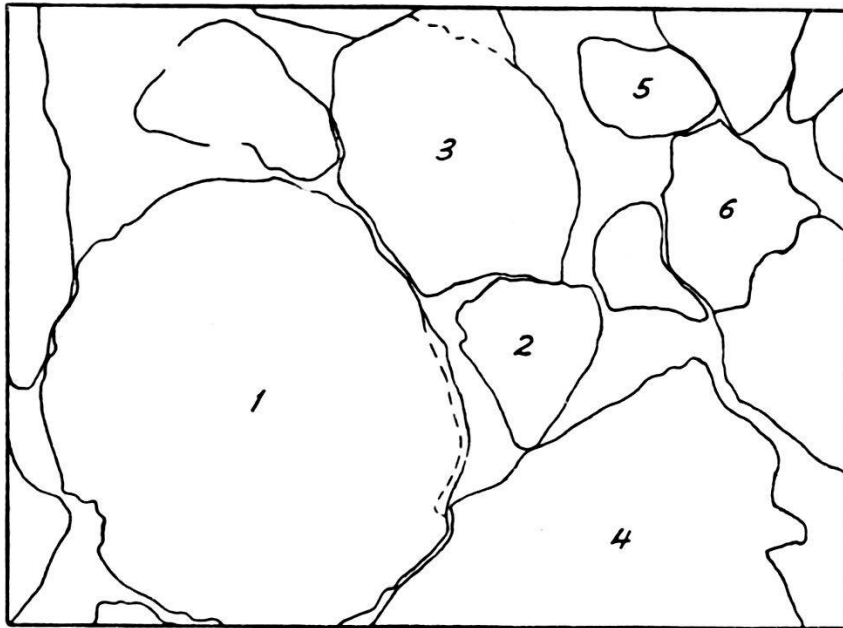


Fig. 1.

- 1 *Nummulites subatacicus* H. Douv., Eocaen
- 2 *Nummulites* sp., Eocaen
- 3 *Nephrolepidina* sp. in Geröll
- 4 *Eulepidina dilatata* (Mich.), Aquitanien
- 5 *Alveolina*, Eocaen
- 6 *Lithothamnium*

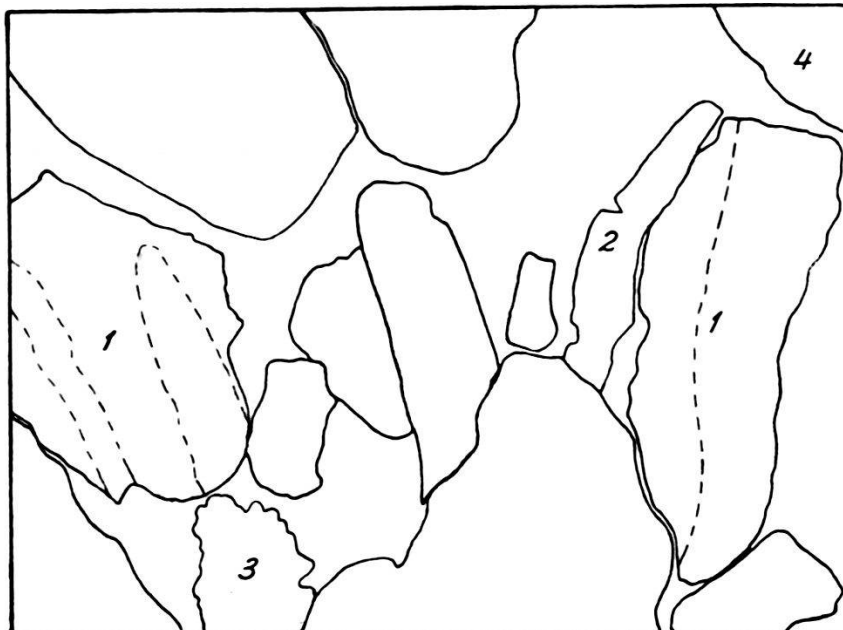


Fig. 2. Feinkonglomeratischer Kalk mit

- 1 *Eulepidina* sp. in Geröll
- 2 *Eulepidina* sp. in der Grundmasse
- 3 *Rotalia tuberculata* SCHUBERT
- 4 *Orbitoides* sp., Kreide

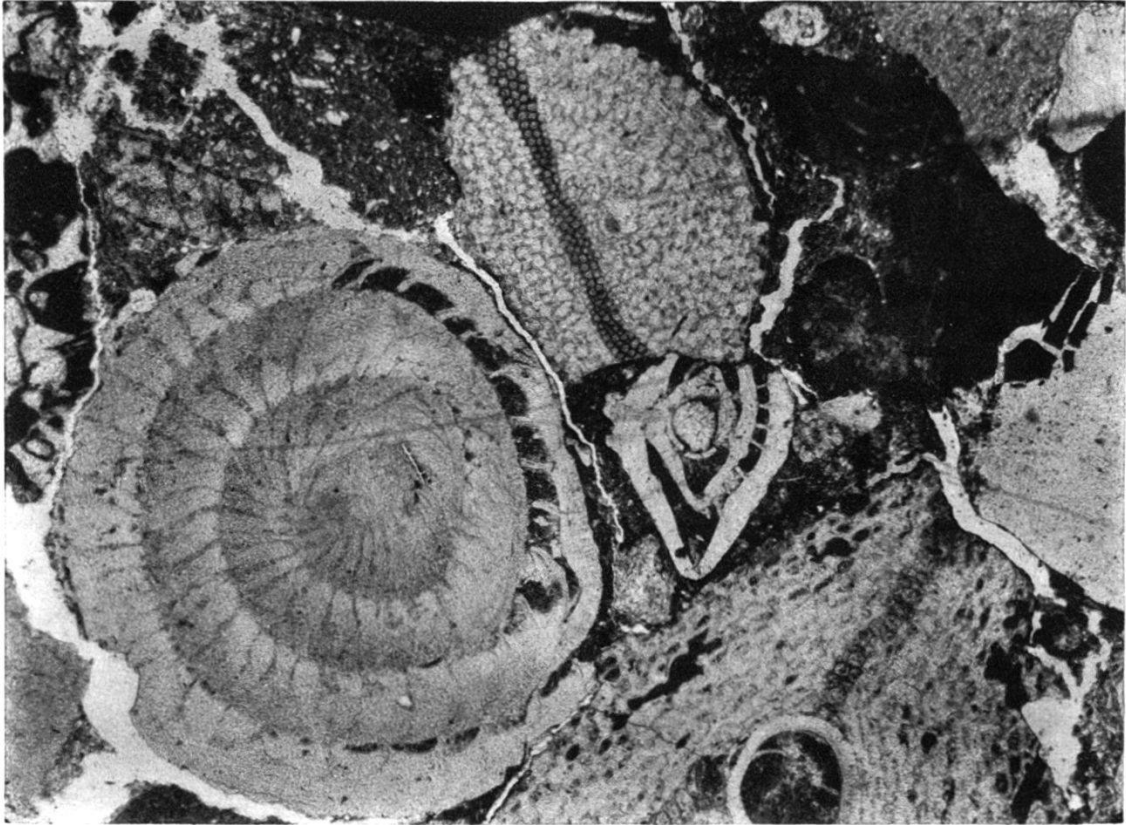


Fig. 1. Vergr. 15 ×.



Fig. 2. Vergr. 15 ×.

Erklärung zu Tafel XXIII

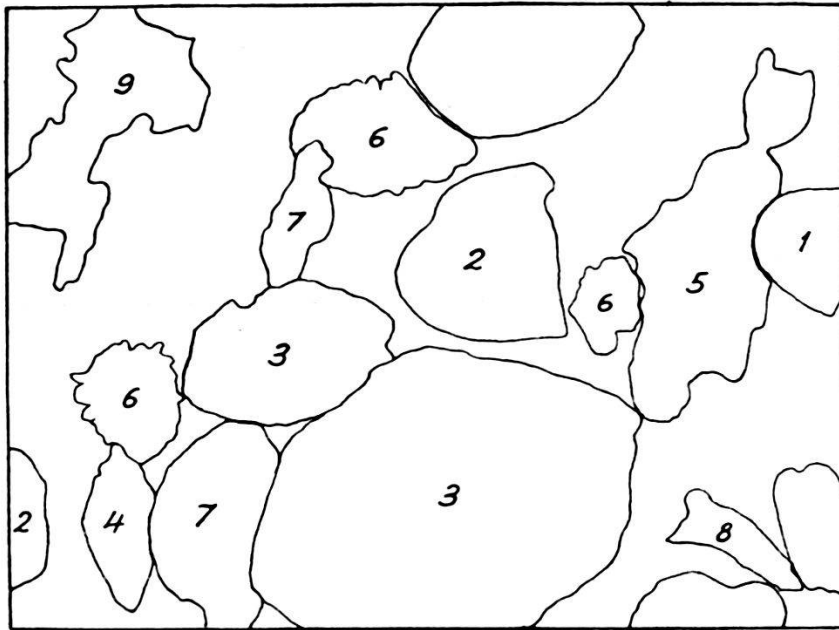


Fig. 1. Feinbrecciöser bis konglomeratischer Kalk mit

- 1 *Lituonella roberti* SCHLUMB., Paleocaen
- 2 *Alveolina* s. s., Eocaen
- 3 *Discoyclina* sp., Eocaen
- 4 *Operculina* sp.
- 5 *Spiroclypeus* sp.
- 6 *Rotalia tuberculata* SCHUBERT, Olig.-Miocaen
- 7 *Nephrolepidina tournoueri* L. & D., Olig.-Miocaen
- 8 *Miogypsina* sp., Burdigalien
- 9 *Lithothamnium*

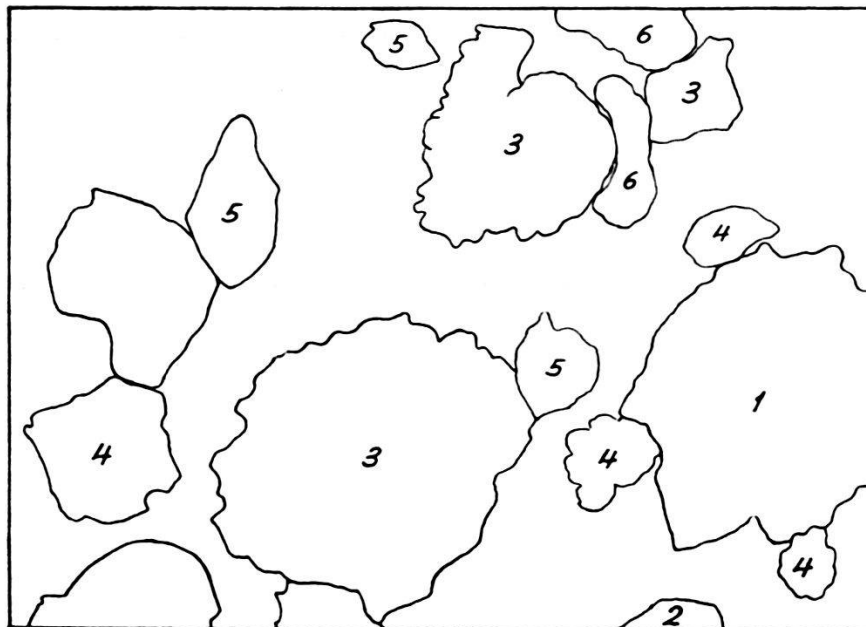


Fig. 2.

- 1 *Eulepidina dilatata* (MICH.)
 - 2 *Nephrolepidina* sp.
 - 3 *Rotalia tuberculata* SCHUBERT
 - 4 *Rotalia* sp.
 - 5 *Amphistegina* sp.
 - 6 *Miogypsina complanata* SCHLUMB., Burdigalien
- } Olig.-Miocaen



Fig. 1. Vergr. 13 \times .

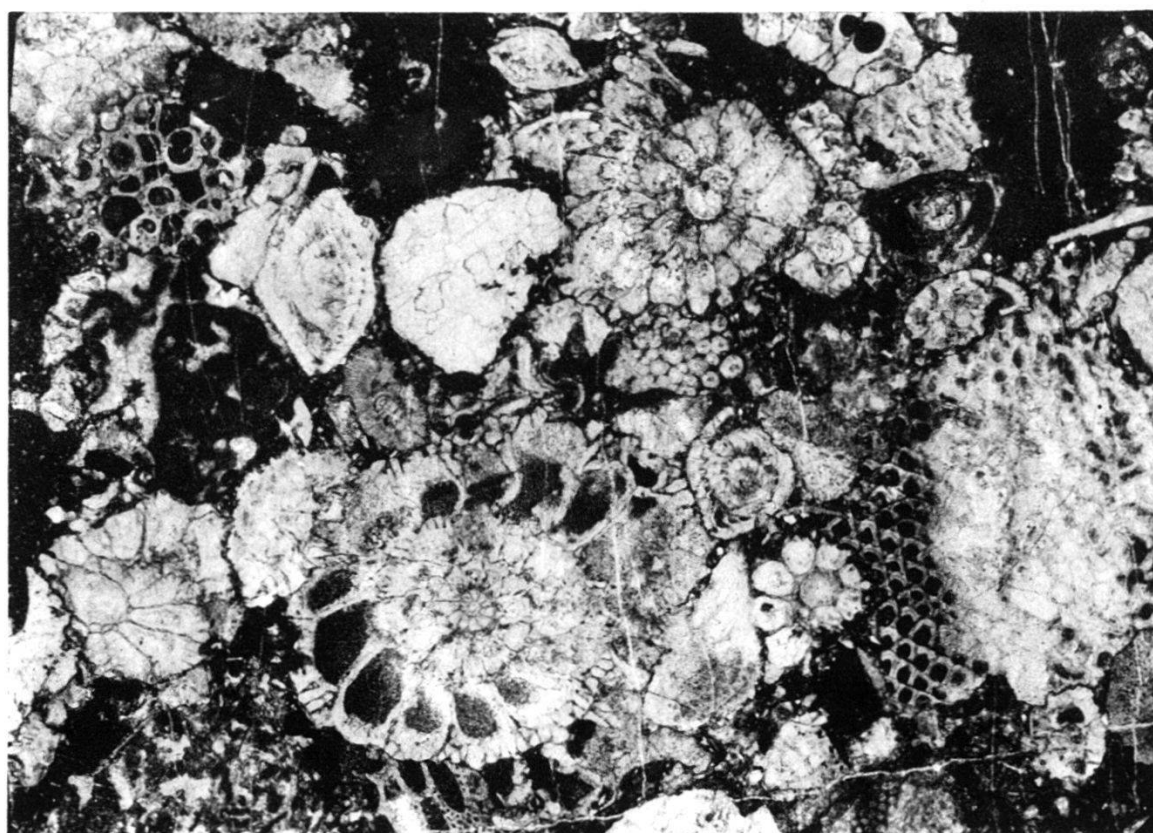


Fig. 2. Vergr. 13 \times .

TEKTONISCHE KARTE DES RAWILGEBIETES

(SE-Ecke des Siegfriedblattes Lenk)

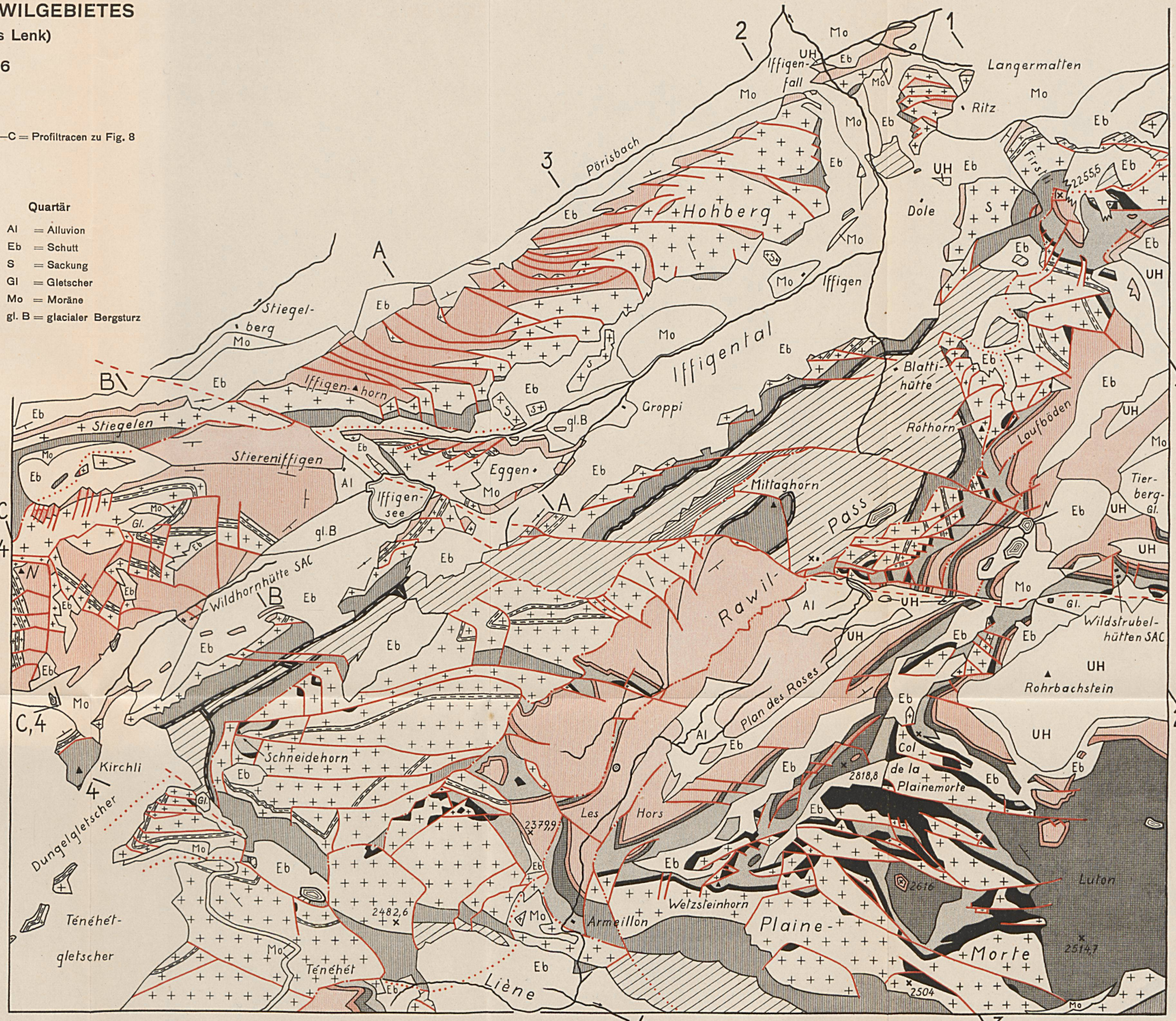
Von H. P. SCHAUB, 1936

Masstab 1:25.000

N = Niesenhorn 1-4 = Profiltracen zu Tafel XXV A-C = Profiltracen zu Fig. 8

| | |
|------------------------|--|
| Ultrahelvetikum | |
| UH = Trias bis Eocen | |
| Wildhorn-Decke | |
| Bartonien | Globigerinenschiefer Lithothamnienkalke |
| | Hohgantschichten |
| Lutétien | Complanatenschichten |
| Maestrictien | Wangschichten |
| Turonien | Seewerschichten |
| Cénomani- Albien | Fossilschicht, Kalksandstein etc. |
| Aptien | Oberer Schrattenkalk Orbitolinaschichten Unterer Schrattenkalk |
| Barrémien | Drusberg-schichten Allmannschichten |
| Hauterivien | Kieselkalk |
| Valanginien | Valanginienmergel |
| | Bruch beobachtet vermutet |
| | Unterverschiebung beobachtet vermutet |
| | Überschiebung beobachtet vermutet |

| | |
|----------------|-----------------------|
| Quartär | |
| Al | = Alluvion |
| Eb | = Schutt |
| S | = Sackung |
| Gl | = Gletscher |
| Mo | = Moräne |
| gl. B | = glacialer Bergsturz |



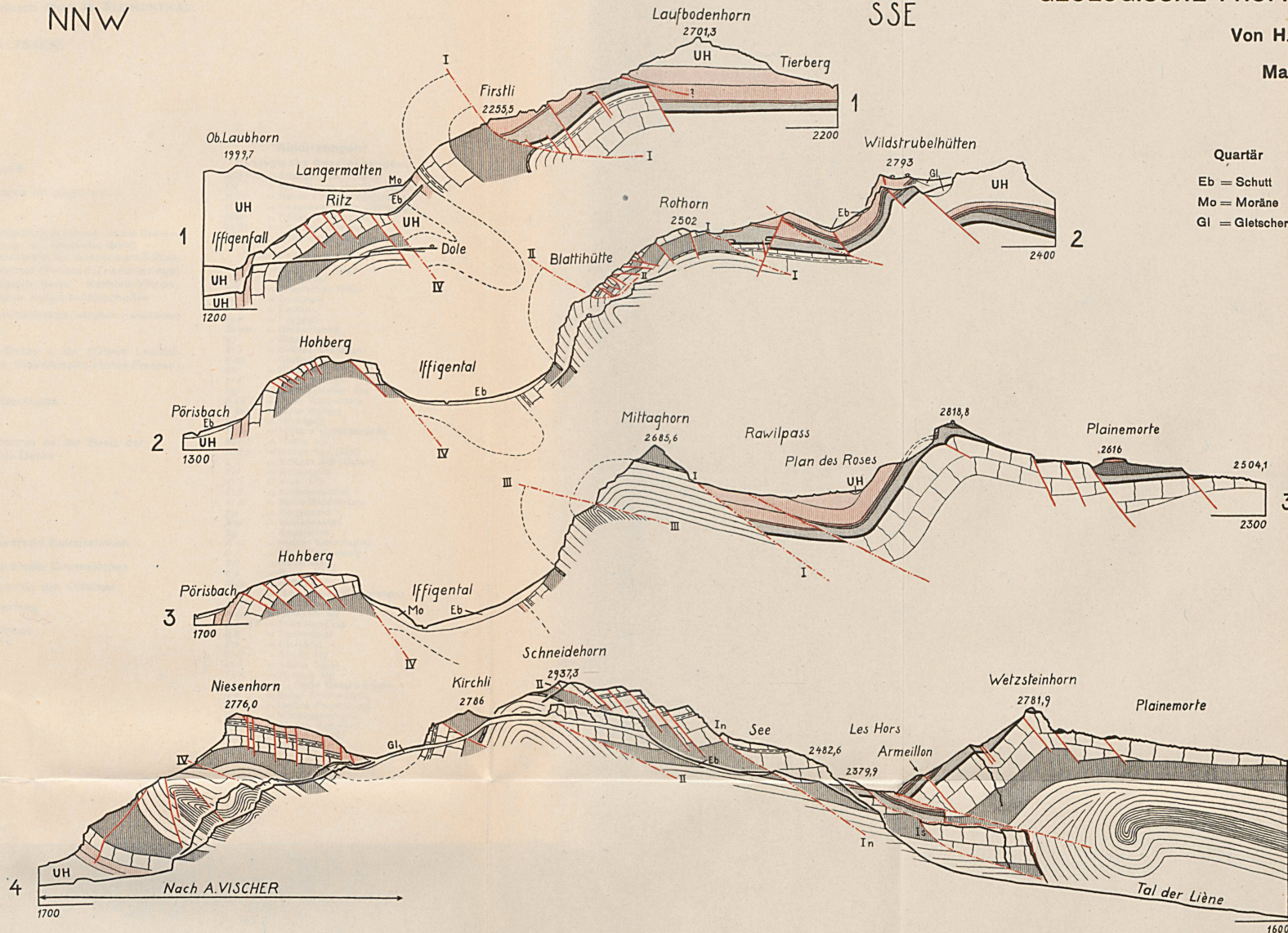
GEOLOGISCHE PROFILE DURCH DAS RAWILGEBIET

Von H. P. SCHAUB, 1936

Masstab 1:25.000

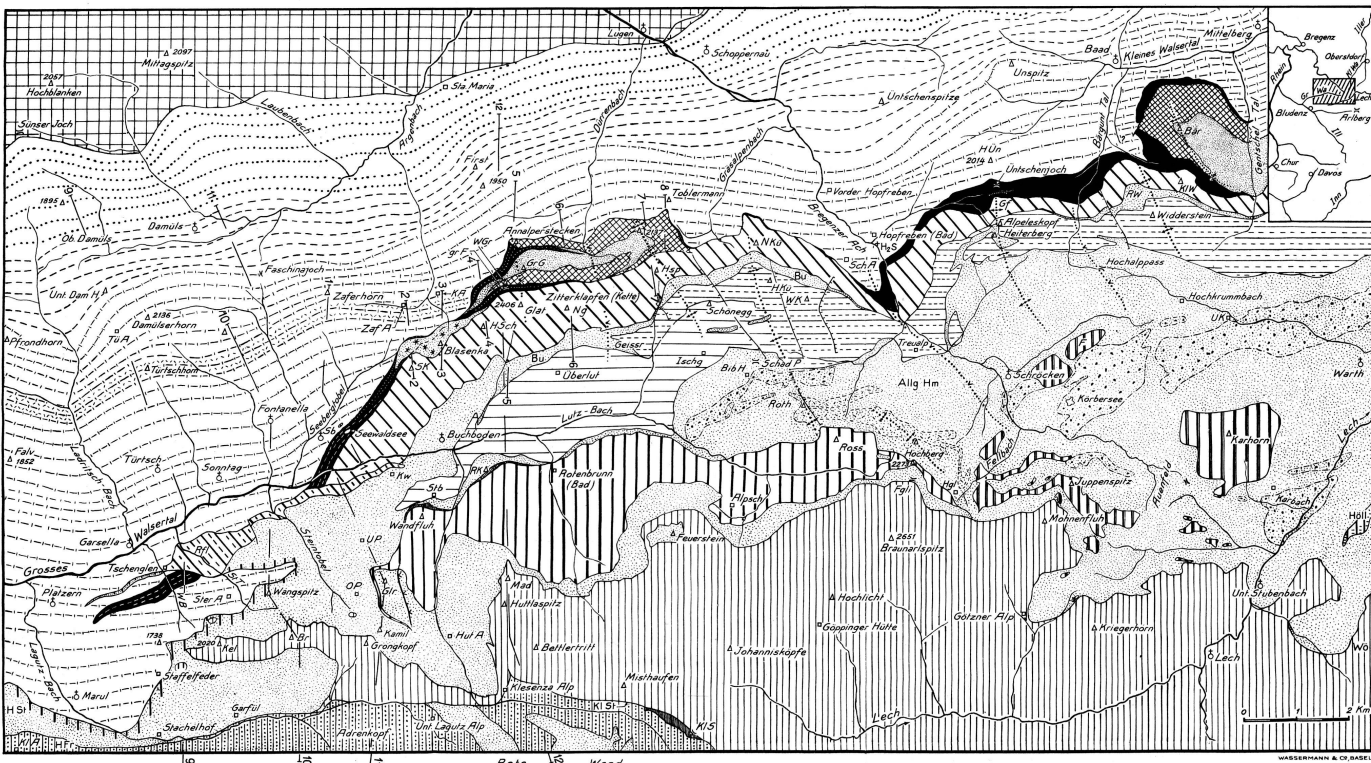
NNW

SSE



Quartär
 Eb = Schutt
 Mo = Moräne
 Gl = Gletscher

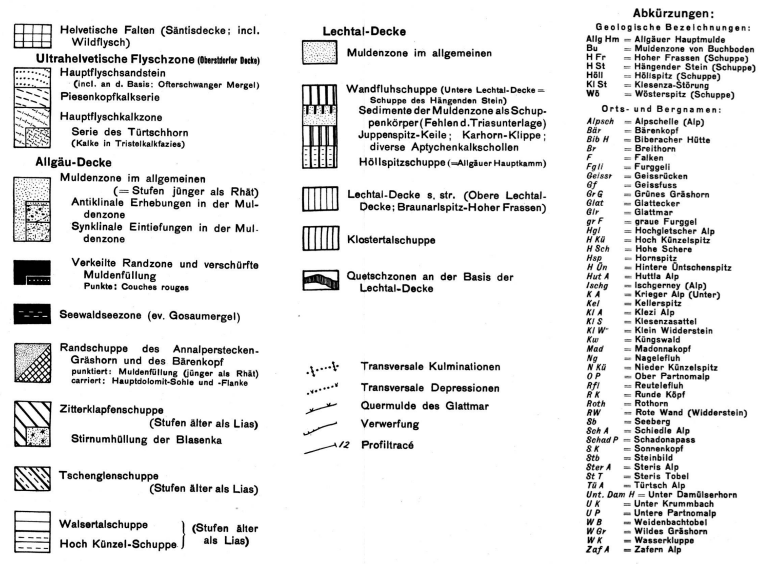
- Ultrahelvetikum**
 UH = Trias bis Tertiär
- Wildhorn-Decke**
- Bartonien
 - Globigerinenschiefer
 - Hohgantschichten
 - Lutétien
 - Complanatenschichten
 - Maestrichtien
 - Wangschichten
 - Turonien
 - Seewerschichten
 - Cénomaniens-Albien
 - Fossilschicht, Kalksandstein etc.
 - Aptien
 - Oberer Schrattenkalk
 - Orbitolinaschichten
 - Unterer Schrattenkalk
 - Barrémien
 - Drusbergschichten
 - Altmansschichten
 - Hauterivien
 - Kieselkalk
 - Valanginien
 - Valanginienmergel
 - Bruch
 - I, II, III, IV
 - Untervorschiebung
 - Überschiebung



**TEKTONISCHE KARTENSKIZZE DER KALKALPEN
ZWISCHEN DEM OBEREN LECH UND DEN BEIDEN WALSERALERN (Vorarlberg).**

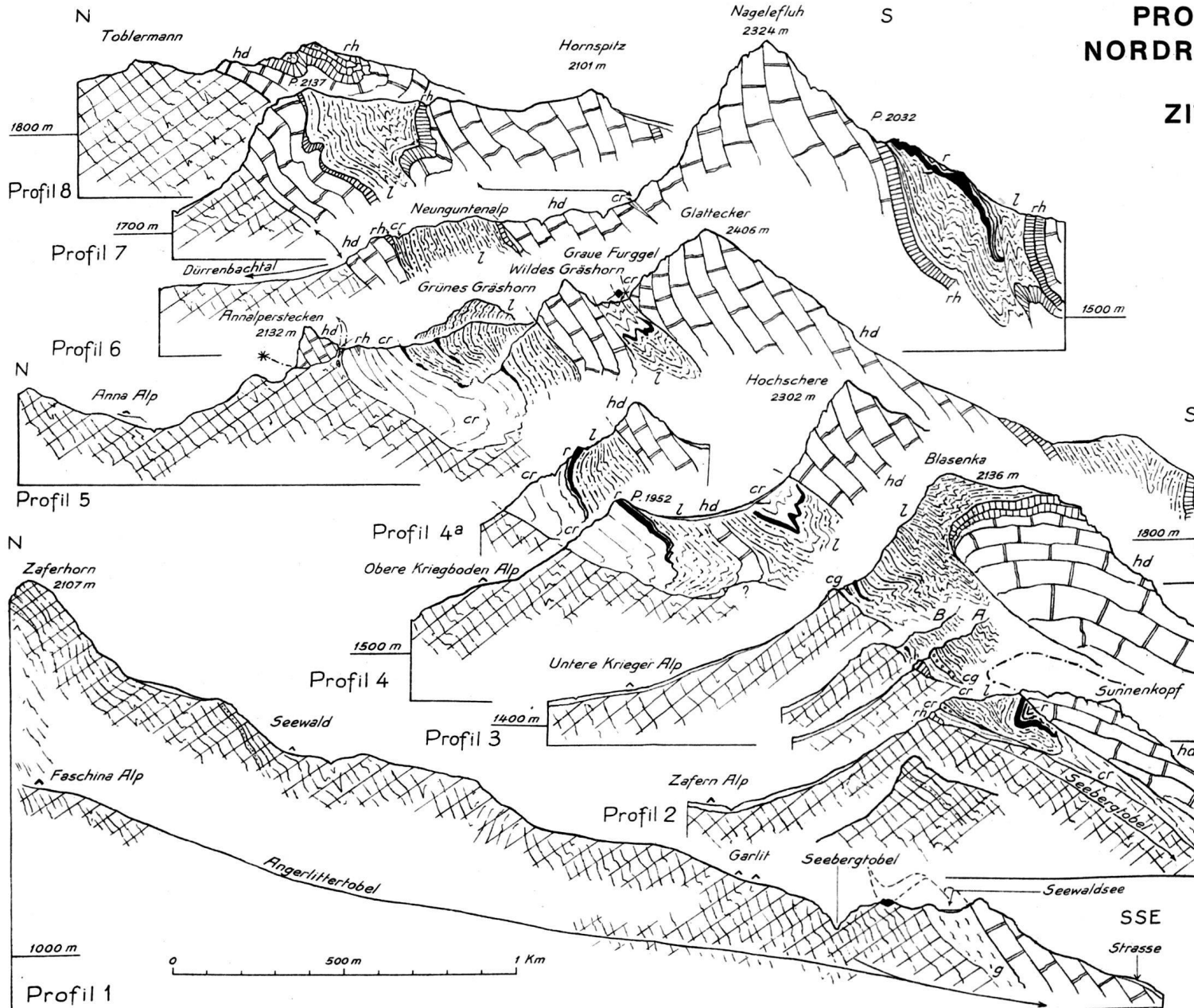
Entworfen nach den Aufnahmen von O. AMPFERER und TH. BENZINGER
nebst eigenen Ergänzungen durch MOR. M. BLUMENTHAL.

Masstab 1:75.000.

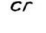



**PROFILSERIE DURCH DEN
NORDRAND DER ALLGÄU-DECKE
IN DER
ZITTERKLAPFEN-KETTE**

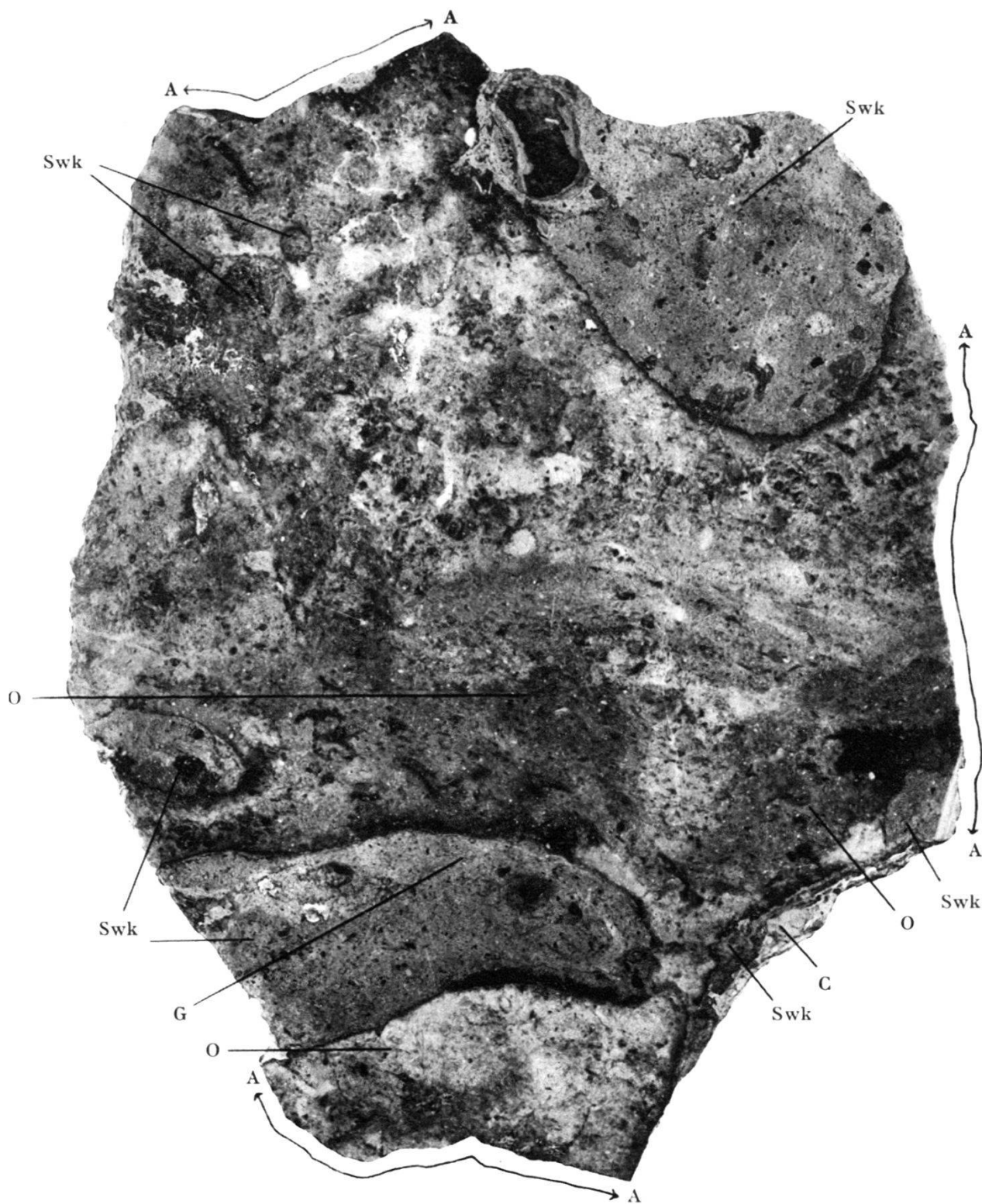
VON
MOR. M. BLUMENTHAL.



Legende

-  Ultrahelvetischer Flysch (Oberstdorfer Decke)
-  cr Oberkreide (Couches rouges & Wildflysch)
-  cg Polygenes Konglomerat
-  g Mergelzone von Seewaldsee (Gosaumergel ?)
-  Aptychenkalk (Tithon in Flexenpassfazies)
-  r Radiolarit
-  l Allgäuschichten (vorw. Lias)
-  rh Rhät
-  hd Hauptdolomit

Prof. 9, 10, 11 in Textfigur 3
Prof. 12 in Textfigur 1



Querschnitt eines Maestrichtienblockes aus dem Agglomerat vom Franzosenweg bei Alfermée.

0,5 ×.

O = Orbitoiden
Swk = Süßwasserkalk
G = Gastropode

C = Bruchstücke von Cénomanienskalk in der Süßwasserkalkkruste
A ↔ A = frische Bruchränder

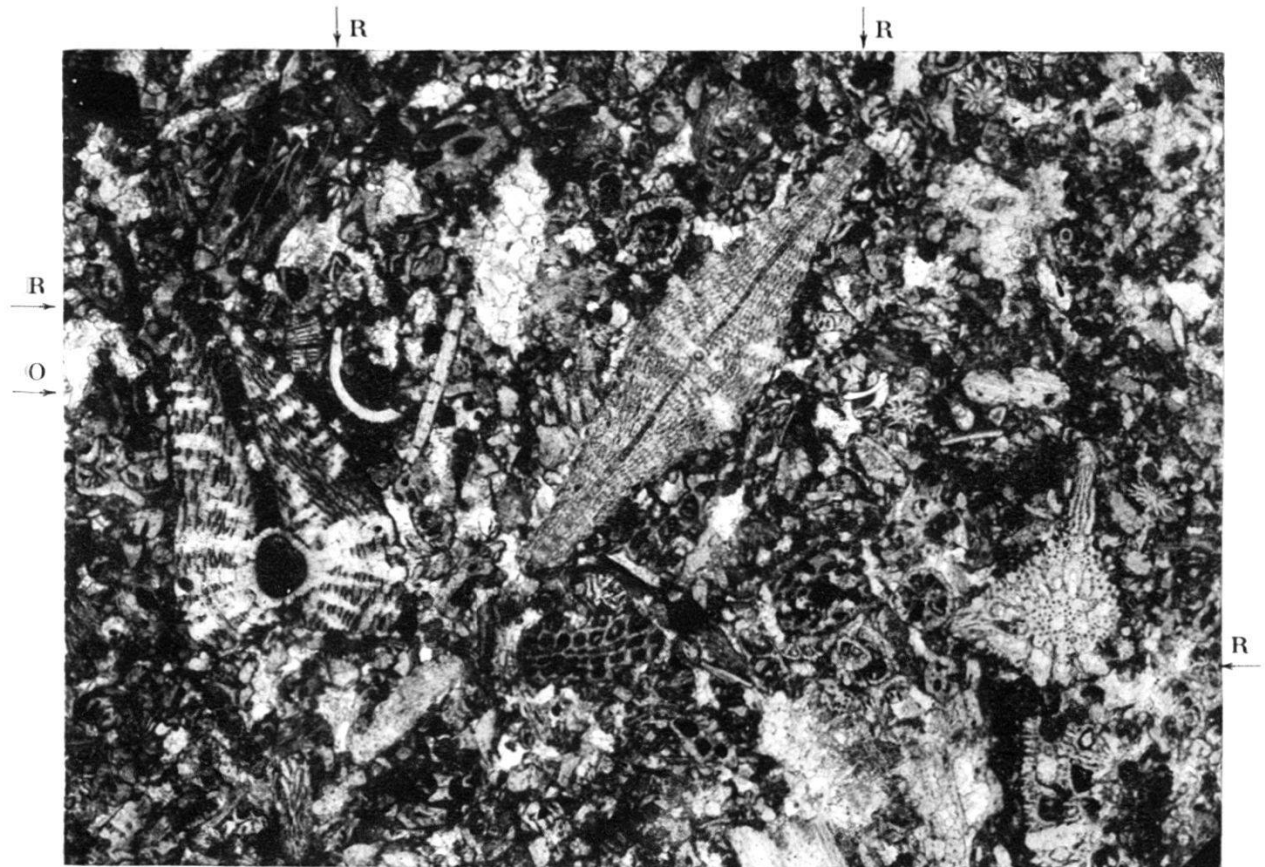


Fig. 1. *Orbitoides* cf. *media* (D'ARCH.) (links), *Lepidorbitoides socialis* (LEYM.) (Mitte), *Siderolites calcitrapoides* LAM. (rechts), *Rotalia* ? sp. (R), Ostracoden (O), Bryozoen. 15 ×.

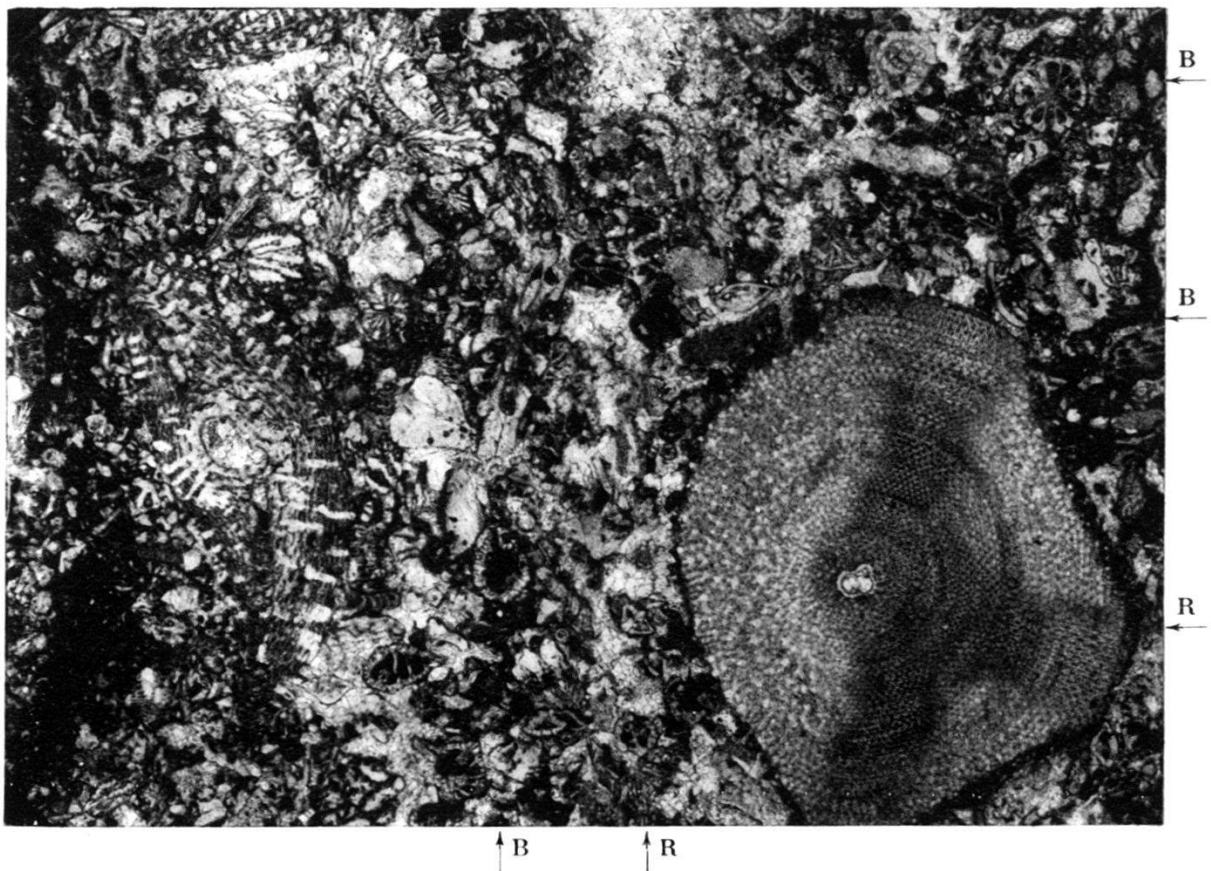


Fig. 2. *Orbitoides* sp. (links), *Siderolites calcitrapoides* LAM. (links oben), *Lepidorbitoides socialis* (LEYM.) (rechts), *Rotalia* ? sp. (R), Bryozoen (B). 12 ×.

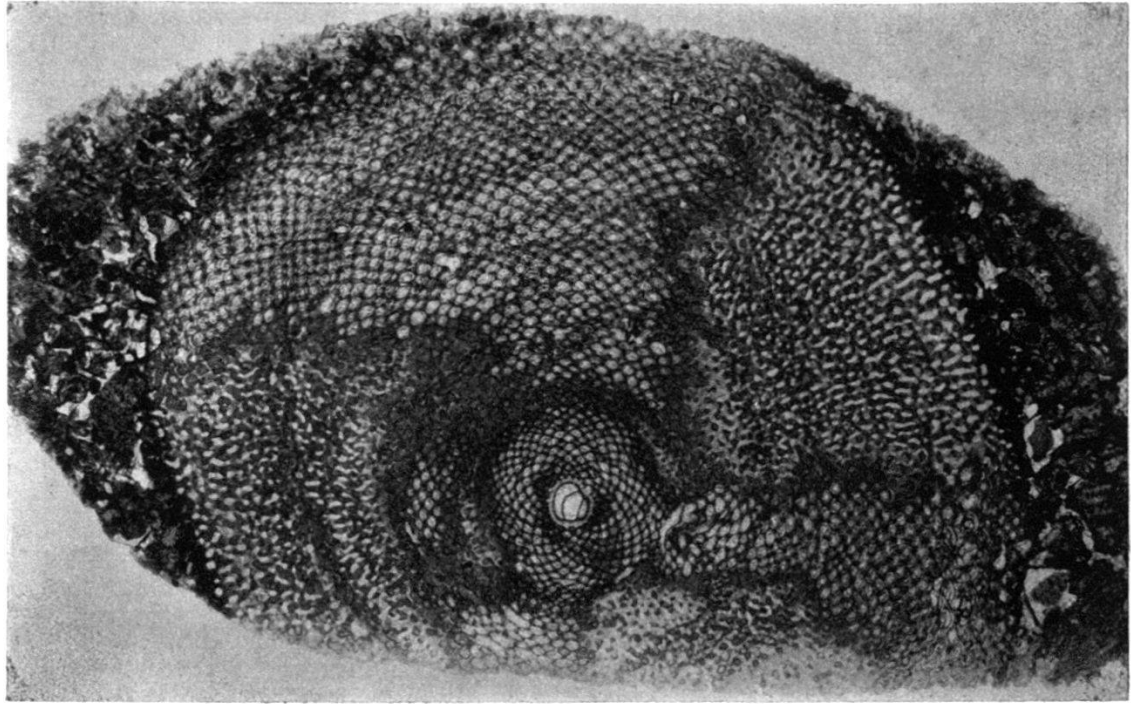
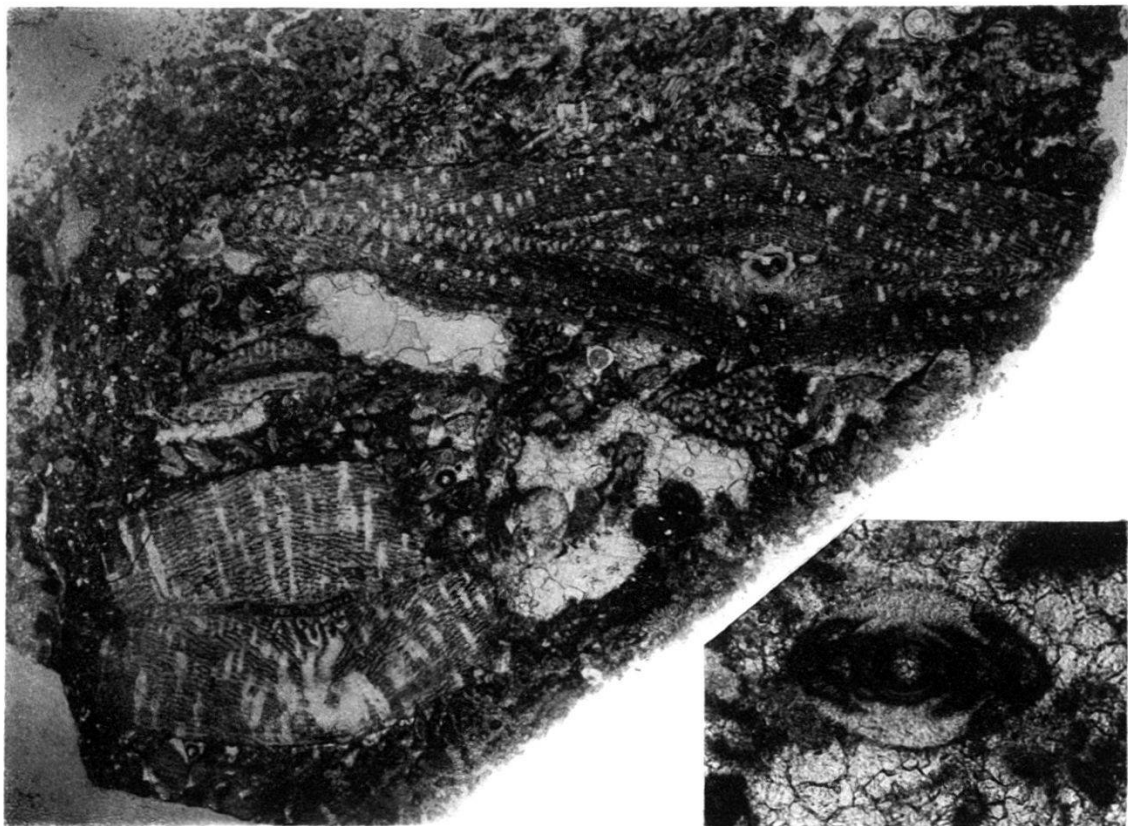


Fig. 1. *Orbitoides apiculata* SCHLUMB. (horizontal). 8 ×.



2

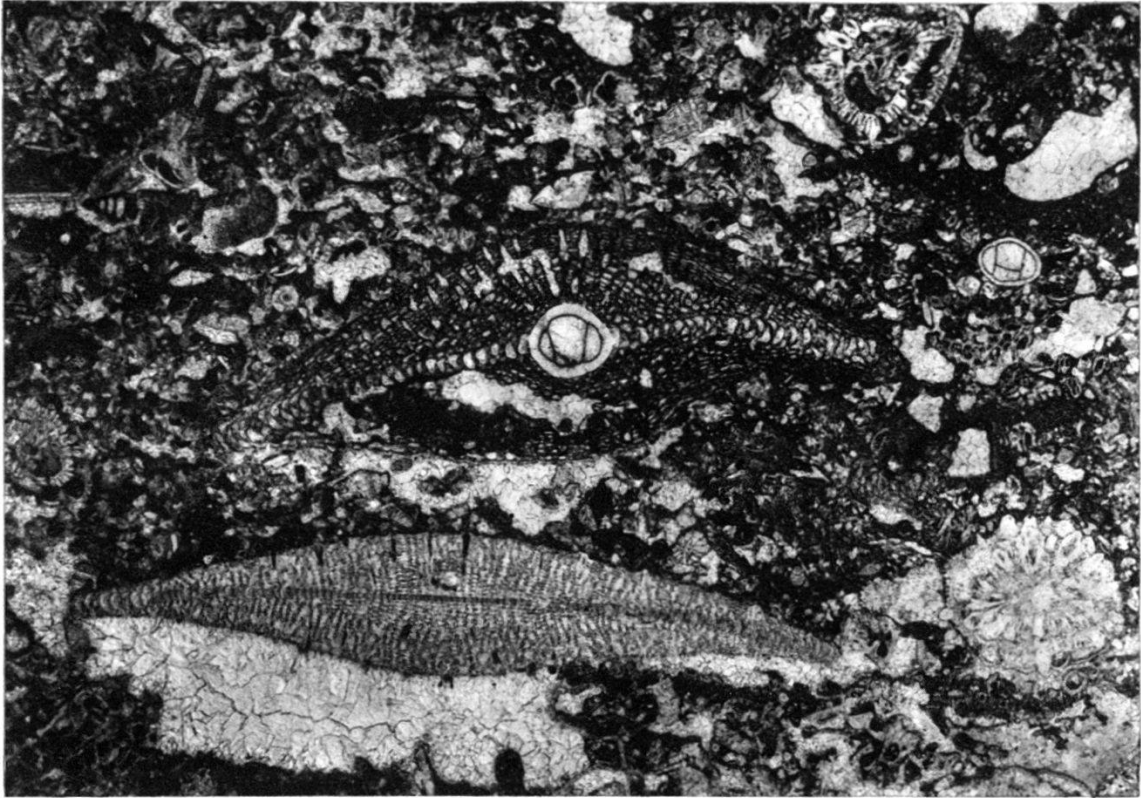
3

Fig. 2. *Orbitoides apiculata* SCHLUMB. (vertikal). Oben A-, unten B-Form (Fragment). 8 ×.

Fig. 3. ? *Meandropsina* n. sp. 60 ×.

O. RENZ phot.

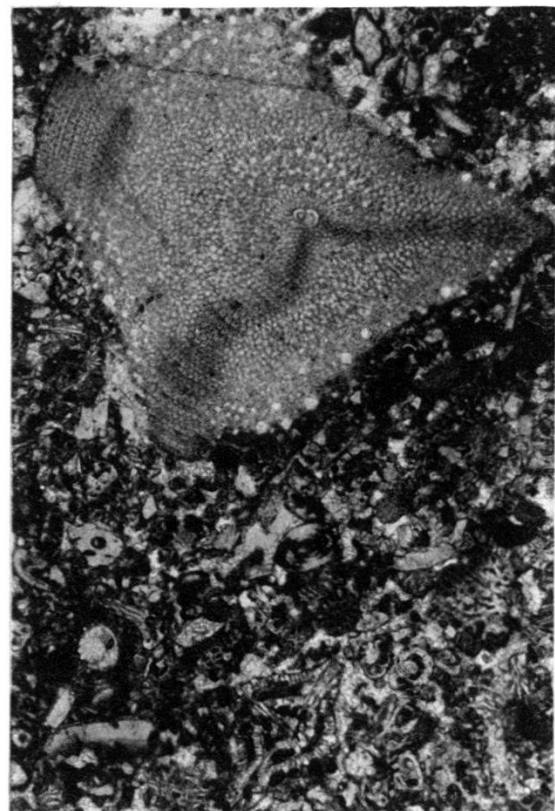
Reprod. BIRKHÄUSER, Basel.



1



2

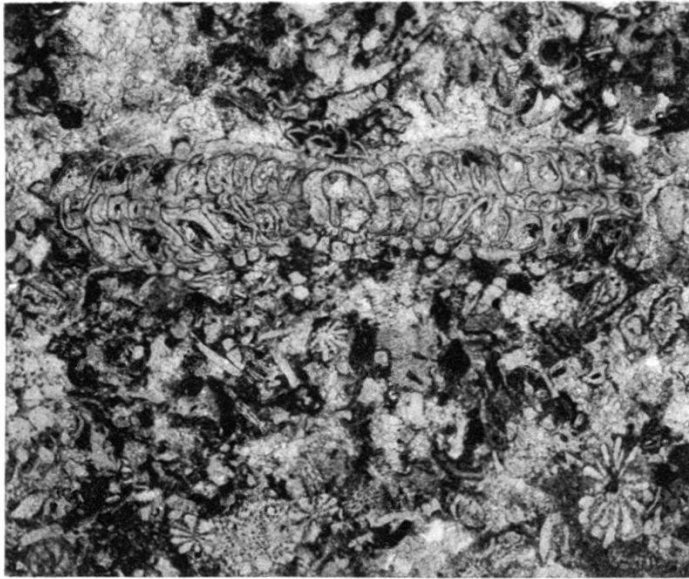


3

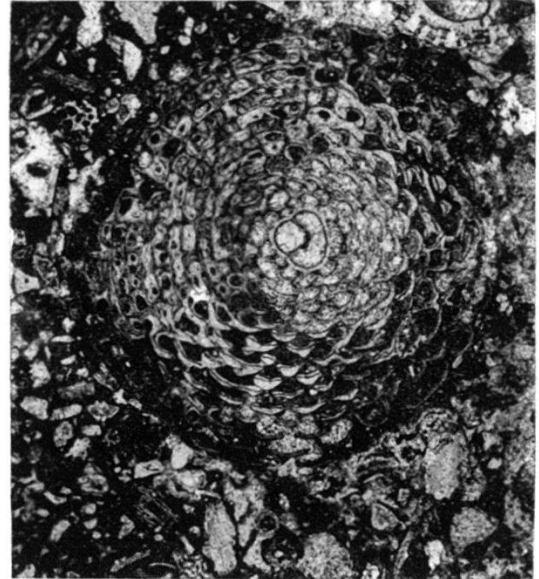
Fig. 1. *Orbitoides media* (D'ARCH.) (Mitte), Embryonalapparat von *O. media* (oben rechts), *Lepidorbitoides socialis* (LEYM.) (unten), *Siderolites calcitrapoides* LAM. (oben und unten rechts). 12 ×.

Fig. 2. *Simplorbites gensacicus* (LEYM.). 15 ×.

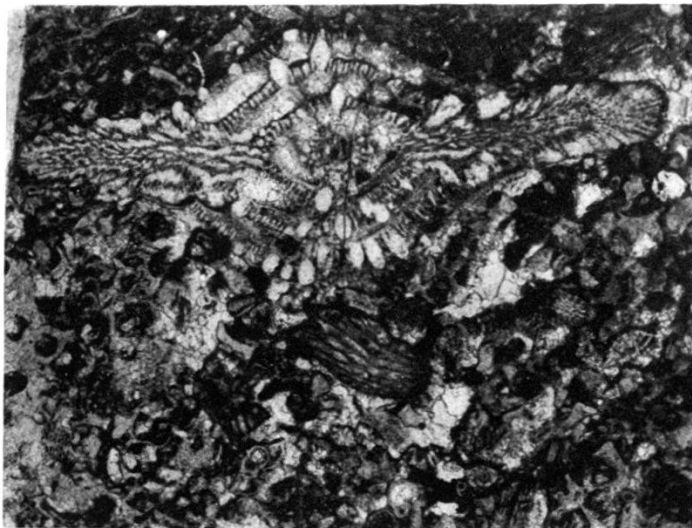
Fig. 3. *Lepidorbitoides socialis* (LEYM.) (oben), ? *Meandropsina* n. sp. (Mitte), *Siderolites* (unten). 10 ×.



1



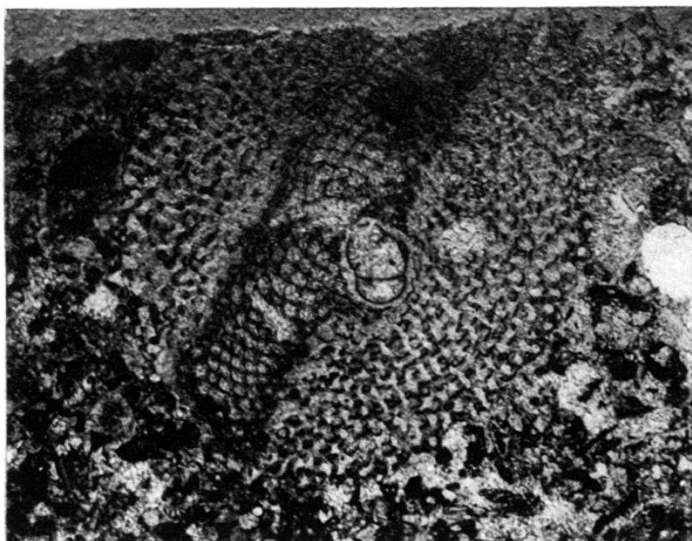
2



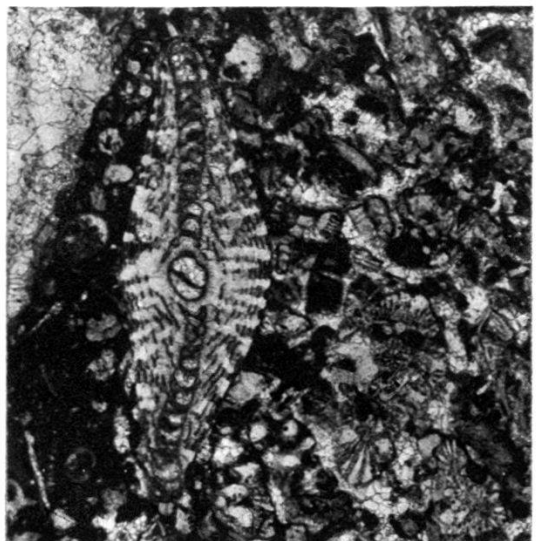
3



4



5



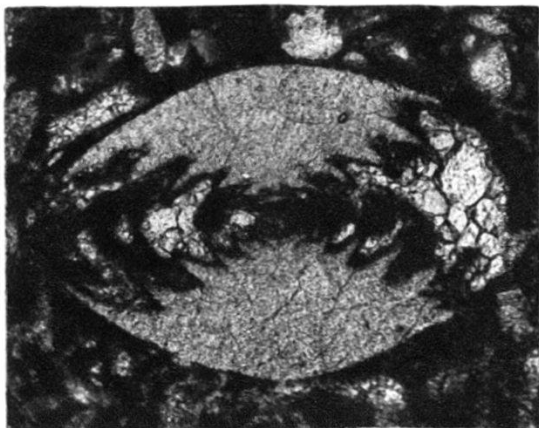
6

Fig. 1. *Omphalocyclus macropora* LAM. (vertikal). 15 ×.

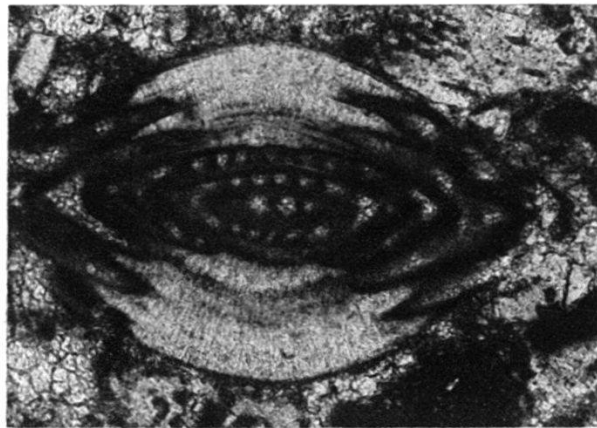
Fig. 2. *Omphalocyclus macropora* LAM. (horizontal), *Rotalia?* sp. (unten links). 15 ×.

Fig. 3 & 4. *Siderolites calcitrapoides* LAM. 15 ×.

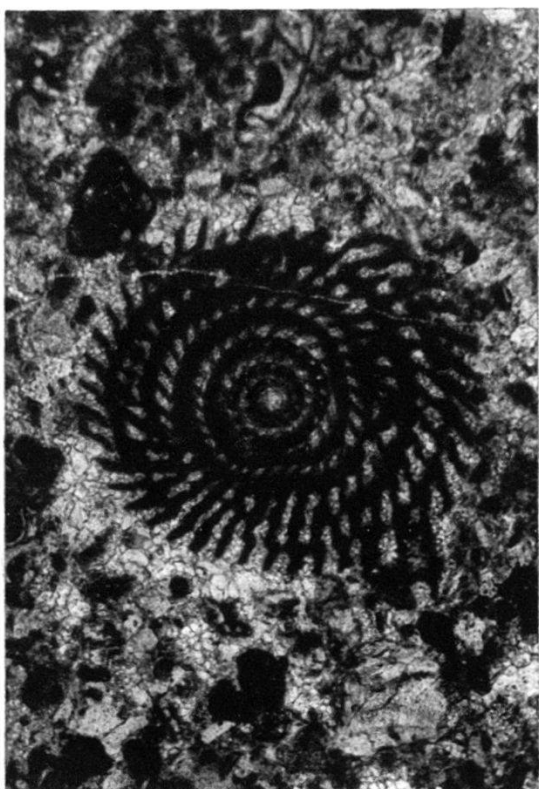
Fig. 5 & 6. *Orbitoides media* (D'ARCH.). 15 ×.



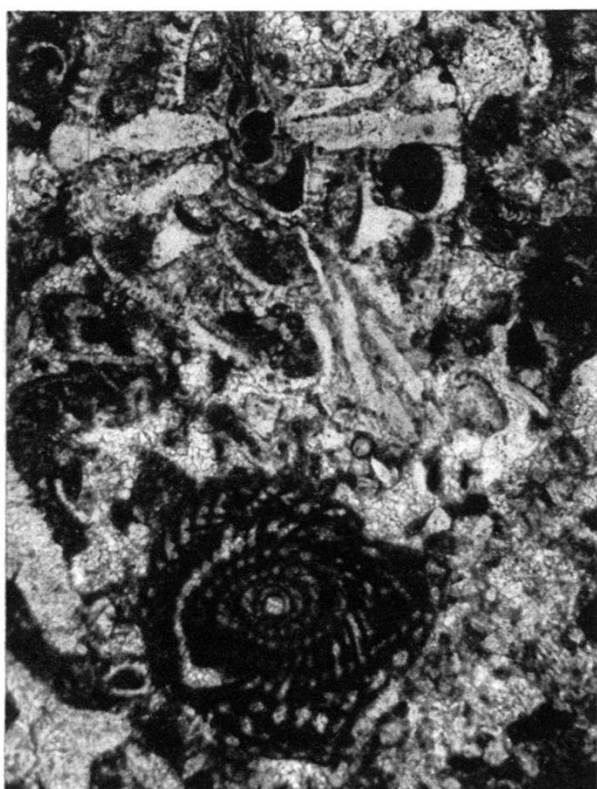
1



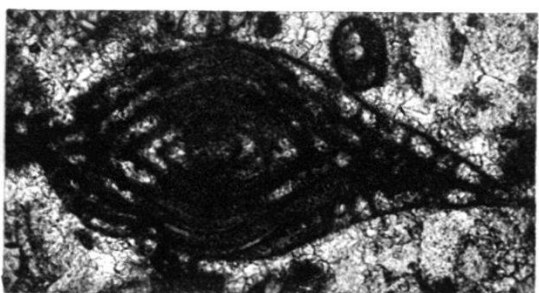
2



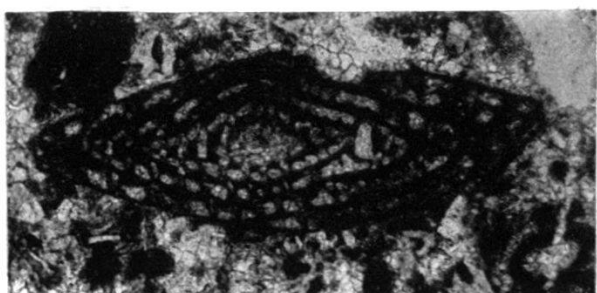
3



4



5



6

Fig. 1 & 2. ? *Meandropsina* n. sp. aff. *Nonionina cretacea* SCHLUMB. 60 ×.

Fig. 3, 5, 6. *Meandropsina vidali* SCHLUMB. 35 ×.

Fig. 4. *Siderolites calcitrapoides* LAM., *Meandropsina vidali* SCHLUMB. 35 ×.

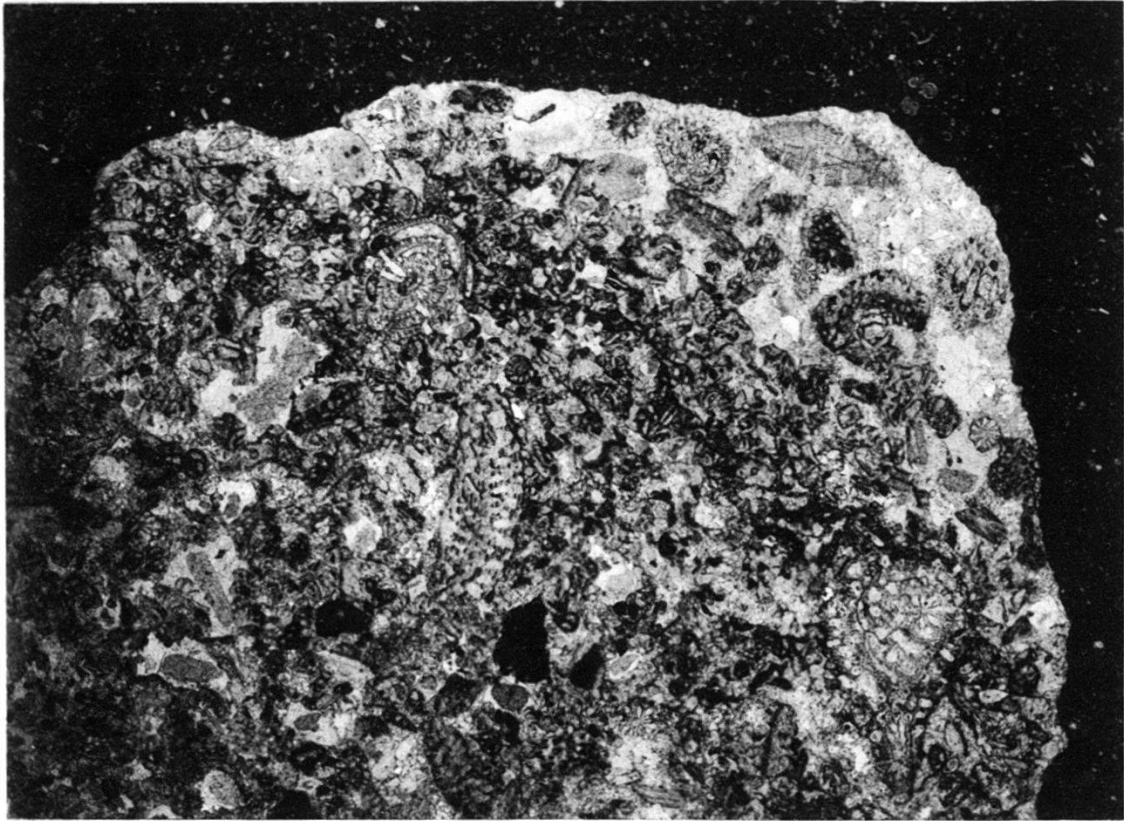
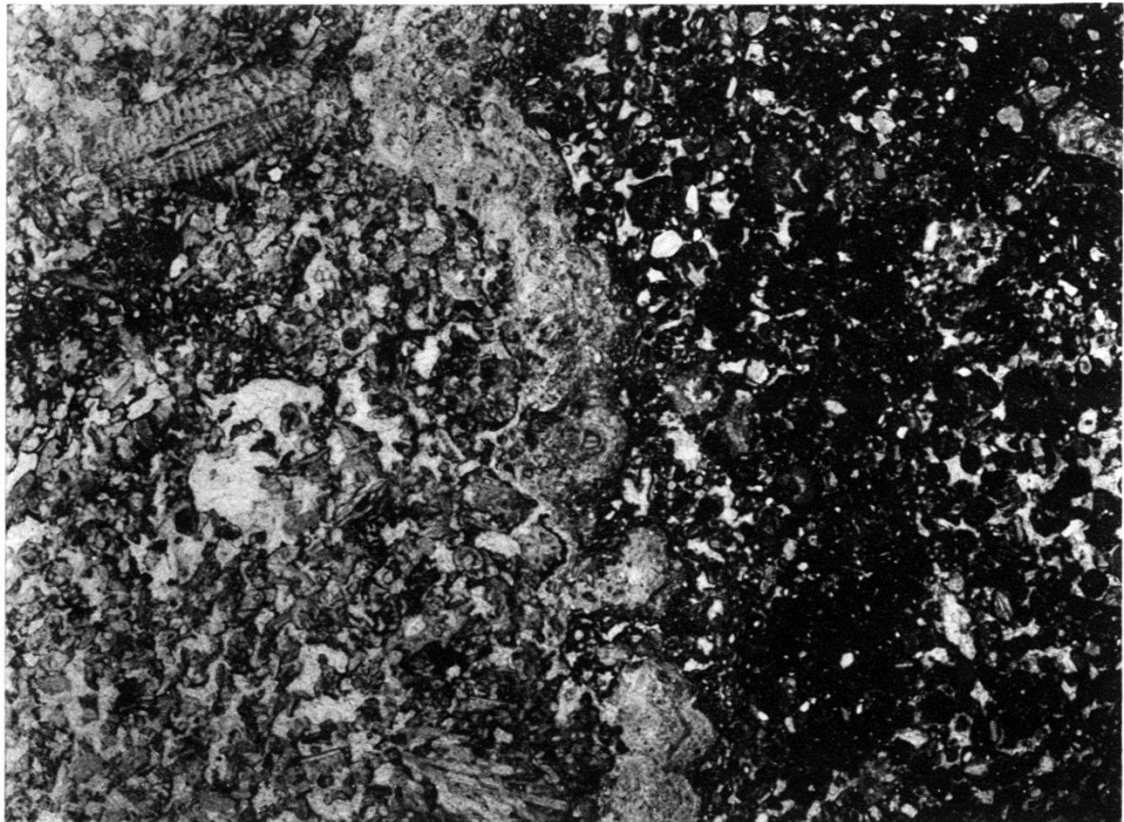


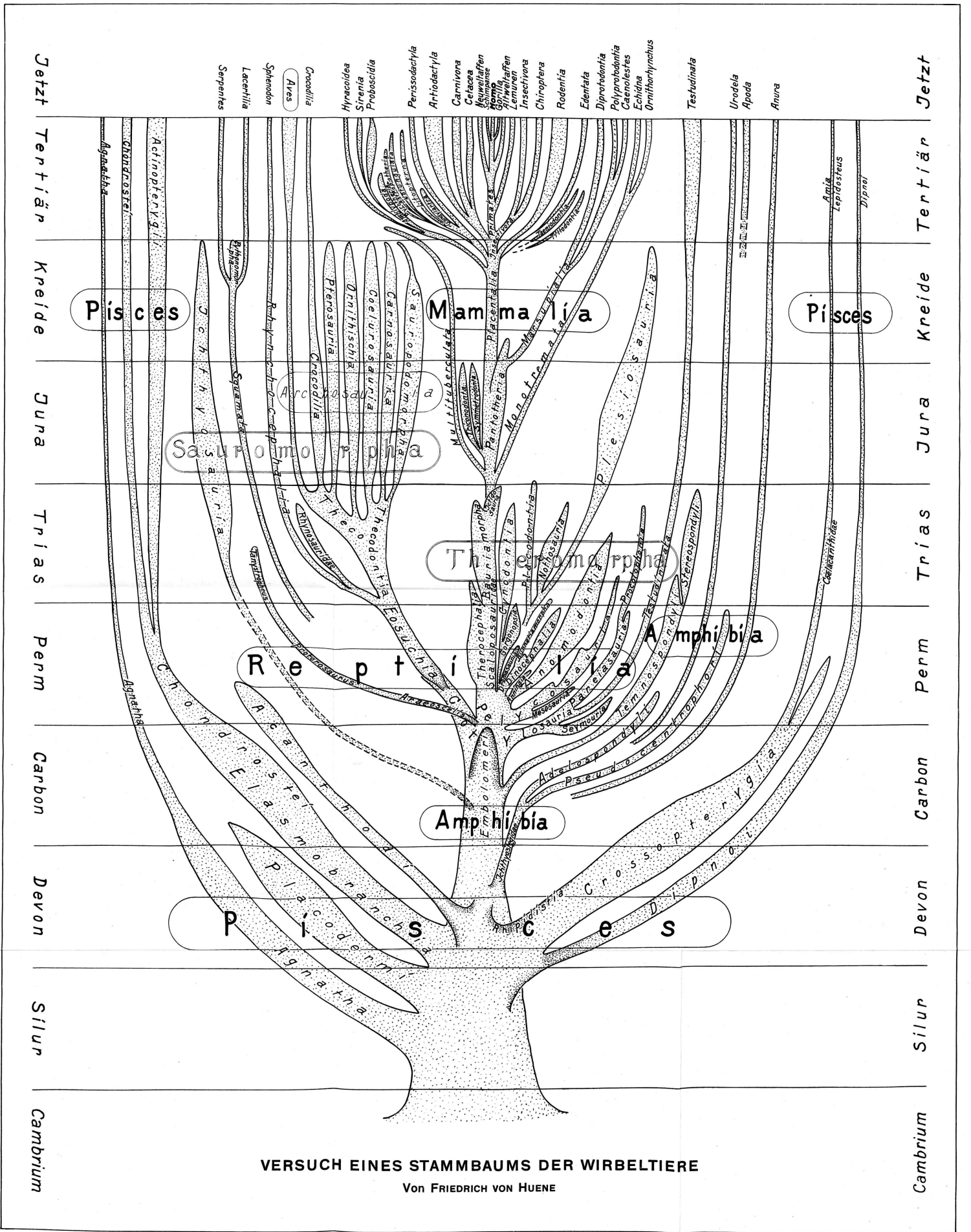
Fig. 1. Querschnitt durch die Ausfüllung eines Pholadenloches im Cenomankalk. 8 x.

↓ VK



↑ VK

Fig. 2. Grenze zwischen Maestrichtien (links) und Süßwasserkalk (rechts).
Versinterungskruste (VK). 8 x.



VERSUCH EINES STAMMBAUMS DER WIRBELTIERE
Von FRIEDRICH VON HUENE



W. JECKER (Basel) phot.

Reprod. BIRKHÄUSER, Basel.

Sandsteinplatte aus dem Vindobonien des Rebhubel bei Biel (Kt. Bern),
mit eingeregeltten Mollusken (*Potamides baumbergeri* DOLLFUS).

Reduktion ca. $\frac{1}{2}$.



A. JEANNET phot.

Reprod. BIRKHÄUSER, Basel.

Diplocidaris mauritanicus nov. sp. Gr. 0,97.

Fig. 1. Vu en dessus. — Fig. 2. Vu de profil. — Fig. 3. Vu en dessous.